



UNIVERSITÄT REGENSBURG

Fakultät für Mathematik

Bachelor of Science Computational Science

Bachelorarbeit

zur Erlangung des akademischen Grades eines Bachelor of Science (B. Sc.)

Iterative Verfahren zur Lösung der diskretisierten
Poisson Gleichung
in der angewandten Mathematik.

von

Michael Bauer

Matrikelnummer: 152 8558

Betreuer: Prof. Dr. Harald Garcke

Eingereicht am: 20.03.2014

Erklärung

Eidesstattliche Erklärung zur Bachelorarbeit

Ich habe die Arbeit selbstständig verfasst, keine anderen als die angegebenen Quellen und Hilfsmittel benutzt und bisher keiner anderen Prüfungsbehörde vorgelegt. Außerdem bestätige ich hiermit, dass die vorgelegten Druckexemplare und die vorgelegte elektronische Version der Arbeit identisch sind, dass ich über wissenschaftlich korrektes Arbeiten und Zitieren aufgeklärt wurde und dass ich von den in § 26/27 Abs. 5 vorgesehenen Rechtsfolgen Kenntnis habe.

Ort, Datum

Unterschrift

Inhaltsverzeichnis

1	Einleitung	1
2	Diskretisierung der Poisson-Gleichung im \mathbb{R}^2	3
2.1	Definition (Poisson-Gleichung)	3
2.2	Finite-Differenzen-Methode und Diskretisierung von Ω	3
2.2.1	Zentraler Differenzenquotient zweiter Ordnung	4
2.2.2	Diskretisierung von Ω	5
2.3	Eigenschaften der Matrix \mathbf{A}_{2D}	8
2.3.1	Eigenwerte und Eigenvektoren von \mathbf{A}_{2D}	9
2.3.2	Folgerung (\mathbf{A}_{2D} ist s.p.d.)	16
2.3.3	Definition (Kondition einer symmetrischen Matrix)	16
2.3.4	Lemma (Kondition von \mathbf{A}_{2D})	16
3	Iterative Lösungsverfahren für lineare Gleichungssysteme	18
3.1	Grundbegriffe	18
3.1.1	Definition (Iterationsmatrix)	18
3.1.2	Definition (Spektralradius)	19
3.1.3	Satz (Konvergenz iterativer Verfahren)	19
3.1.4	Definition (Residuum und Fehler)	19
3.2	Das Jacobi-Verfahren (Gesamtschrittverfahren)	20
3.2.1	Algorithmus (Jacobi-Verfahren)	20
3.2.2	Satz (Iterationsmatrix des Jacobi-Verfahrens)	20
3.2.3	Satz (Eigenwerte von \mathbf{T}_J bzgl. \mathbf{A}_{2D})	21
3.2.4	Lemma (Spektralradius von \mathbf{T}_J bzgl. \mathbf{A}_{2D})	21
3.2.5	Algorithmus (Jacobi-Verfahren für \mathbf{A}_{2D}) [NumParVer]	22
3.3	Das Jacobi-Relaxationsverfahren	22
3.3.1	Algorithmus (Jacobi-Relaxations-Verfahren)	23
3.3.2	Satz (Eigenwerte von \mathbf{T}_{J_w} bzgl. \mathbf{A}_{2D})	23
3.3.3	Lemma (Spektralradius von \mathbf{T}_{J_w} bzgl. \mathbf{A}_{2D})	24

Inhaltsverzeichnis

3.3.4	Algorithmus (Jacobi-Relaxations-Verfahren für A_{2D}) [Num-ParVer]	25
3.4	Glättungseigenschaft	25
3.5	Das Verfahren der konjugierten Gradienten	30
3.5.1	Definition (A-orthogonal)	30
3.5.2	Satz (Minimierungsfunktion)	31
3.5.3	Lemma - (A-orthogonaler) Projektionssatz	31
3.5.4	Allgemeiner Algorithmus der konjugierten Gradienten	32
3.5.5	Lemma	33
3.5.6	Lemma	33
3.5.7	Lemma	33
3.5.8	Satz (Bestimmung einer A-orthogonalen Basis)	34
3.5.9	Satz	34
3.5.10	Algorithmus der konjugierten Gradienten	35
3.5.11	Satz (Konvergenz des CG-Algorithmus) [DahmenReusken]	35
3.6	Vorkonditioniertes Verfahren der konjugierten Gradienten (PCG)	36
3.6.1	Satz	36
3.6.1.1	Beweis:	36
3.6.2	Der Algorithmus des vorkonditionierten konjugierten Gradienten Verfahrens	37
3.6.3	Die unvollständige Cholesky-Zerlegung	37
3.6.3.1	Definition (Muster E) [D/R]	38
3.6.3.2	Eigenschaften der Matrix \tilde{L}	38
3.6.3.3	Algorithmus der unvollständigen Cholesky-Zerlegung	39
3.6.4	Die modifizierte unvollständige Cholesky-Zerlegung	39
3.6.4.1	Eigenschaften der Matrix \tilde{L}	39
3.6.4.2	Algorithmus der modifizierten unvollständigen Cholesky-Zerlegung	40
3.6.5	Effiziente Implementation der modifizierten Cholesky-Zerlegungen	40
3.6.6	C++-Methode der MIC	41
4	Mehrgitterverfahren	43
4.1	Grundlagen	43
4.2	Prolongation	44
4.2.1	Interpolationsmatrix	44
4.3	Restriktion	47
4.3.1	Restriktionsmatrix	47

Inhaltsverzeichnis

4.4	Transformation der Matrix	49
4.5	Das Zweigitterverfahren	50
4.6	Mehrgitter-Algorithmen	51
5	Implementierung und Beispiel	55
5.1	Beispiel einer Poisson Gleichung	55
5.2	Bemerkung zur Implementierung in C++	57
5.3	Speicherung von \mathbf{A}_{2D}	57
5.4	Abbruchkriterien	58
5.5	Jacobi-Verfahren	58
5.6	Jacobi-Relaxations-Verfahren	59
5.6.1	Parameter $\omega = \frac{4}{5}$	60
5.7	CG-Verfahren	60
5.8	PCG-Verfahren	61
5.8.1	Mit unvollständiger Cholesky-Zerlegung	61
5.8.2	Mit modifizierter unvollständiger Cholesky-Zerlegung	61
5.9	Das Mehrgitterverfahren	62
5.9.1	Zweigitterverfahren	62
5.9.2	V-Zyklus	63
5.9.3	W-Zyklus	63
5.9.4	Mehrgitteralgorithmus C++-Methode	64
	Danksagung	65
	Abbildungsverzeichnis	66
	Tabellenverzeichnis	68

1 Einleitung

Viele Prozesse in den Naturwissenschaften, wie Biologie, Chemie und Physik, aber auch der Medizin und Wirtschaft lassen sich auf partielle Differentialgleichungen zurückführen. Das Lösen solcher Gleichungen ist allerdings nicht immer möglich, oder aufwendig.

Eine partielle Differentialgleichung, die vor allem in der Physik häufige Verwendung findet, ist die Poisson-Gleichung. Sie stellt eine elliptische partielle Differentialgleichung zweiter Ordnung dar. So genügt beispielsweise das elektrostatische Potential u zu gegebener Ladungsdichte f , oder das Gravitationspotential u zu gegebener Massendichte f dieser Gleichung.

Methoden aus der numerischen Mathematik ermöglichen das Lösen von partiellen Differentialgleichungen mittels computerbasierten Algorithmen. Es wird jedoch nicht die Lösung direkt bestimmt, sondern versucht eine exakte Approximation der Lösung zu erhalten. Dabei ist es wichtig, dass der zugrunde liegende Algorithmus effizient ist, also durch Stabilität und geringem Rechenaufwand gekennzeichnet ist.

Unser Ziel ist es nun, solche Algorithmen herzuleiten und in Programmiercode umzusetzen. Bevor man die Lösung einer partiellen Differentialgleichung berechnen kann, versucht man zunächst die Gleichung auf ein lineares Gleichungssystem $\mathbf{A}u = f$ zurückzuführen. Eine der zentralen Methoden der Numerik sind Finite-Differenzen. Hierbei diskretisiert man das Gebiet, auf dem die partielle Differentialgleichung definiert ist und kann dann die Gleichung auf ein lineares Gleichungssystem der Form $\mathbf{A}u = f$ zurück führen.

Da es eine Reihe von Methoden zur Lösung von linearen Gleichungssystemen gibt, stellt sich natürlich die Frage, welche die effizienteste für die gegebene Problemstellung ist. Eine Möglichkeit, ein lineares Gleichungssystem zu lösen, sind beispielsweise iterative Verfahren. Sie zeichnen sich dadurch aus, dass sie die approximierte Lösung schrittweise nähern. Dabei werden pro Iterationsschritt nur endlich viele Rechenoperationen benötigt. Beispiele, die in dieser Arbeit diskutiert werden, sind das Jacobi-Verfahren oder das Verfahren der konjugierten Gradienten. Letzteres liefert ein großartiges Werkzeug, um eine Lösung innerhalb weniger

1 Einleitung

Iterationsschritte zu berechnen.

Wie wir sehen werden, ist das Jacobi-Verfahren zwar ein iteratives Verfahren, jedoch als solches ungeeignet. Durch eine Modifikation erhalten wir das Jacobi-Relaxationsverfahren, welches ebenfalls nicht als ein iteratives Verfahren geeignet ist, allerdings die sogenannte Glättungseigenschaft besitzt. Diese Eigenschaft findet ihre Anwendung in den Mehrgittermethoden, welche sich durch schnelle Konvergenz und geringe Rechenzeit auszeichnen. Gerade für die Poisson-Gleichung liefern sie innerhalb weniger Sekunden eine sehr gute Approximation der Lösung. Die gewonnenen Erkenntnisse werden wir sodann mit einem konkreten Beispiel belegen.

2 Diskretisierung der Poisson-Gleichung im \mathbb{R}^2

2.1 Definition (Poisson-Gleichung)

Sei $\Omega = (0, 1) \times (0, 1) \in \mathbb{R}^2$ ein beschränktes, offenes Gebiet. Gesucht wird eine Funktion $u(x, y)$, die das Randwertproblem

$$-\Delta u(x, y) = f(x, y) \text{ in } \Omega, \quad (2.1)$$

$$u(x, y) = g(x, y) \text{ in } \partial\Omega \quad (2.2)$$

löst. Dabei seien $f : \Omega \rightarrow \mathbb{R}$ und $g : \partial\Omega \rightarrow \mathbb{R}$ stetige Funktionen und es bezeichnet $\Delta := \sum_{k=1}^n \frac{\partial^2}{\partial x_k^2}$ den Laplace-Operator. Für die Poisson-Gleichung im \mathbb{R}^2 gilt dann:

$$-\Delta u(x, y) = \frac{\partial^2 u(x, y)}{\partial x^2} + \frac{\partial^2 u(x, y)}{\partial y^2} = f(x, y) \text{ in } \Omega, \quad (2.3)$$

$$u(x, y) = g(x, y) \text{ in } \partial\Omega. \quad (2.4)$$

Gleichung 2.2 bzw. Gleichung 2.4 nennt man Dirichlet-Randbedingung.

Beachte: $\partial_{xx}u(x, y) = \frac{\partial^2 u(x, y)}{\partial x^2}$ und $\partial_x u(x, y) = \frac{\partial u(x, y)}{\partial x}$.

Um diese (elliptische) partielle Differentialgleichung nun in Ω zu diskretisieren, bedarf es der Hilfe der Finiten-Differenzen-Methode.

2.2 Finite-Differenzen-Methode und Diskretisierung von Ω

Zunächst wollen wir den zentralen Differenzenquotienten (zweiter Ordnung) einführen, Mithilfe dessen wir bei der Diskretisierung eine Matrix \mathbf{A} erhalten werden.

Diese wollen wir auf ihre Eigenschaften untersuchen.

2.2.1 Zentraler Differenzenquotient zweiter Ordnung

Wir betrachten ein $(x, y) \in \Omega$ beliebig. Dann gilt für $u(x, y)$ mit $h > 0$ und der Taylorformel

$$u(x + h, y) = u(x, y) + h\partial_x u(x, y) + \frac{h^2}{2!}\partial_{xx}u(x, y) + \mathcal{O}(h^3), \quad (2.5)$$

$$u(x - h, y) = u(x, y) - h\partial_x u(x, y) + \frac{h^2}{2!}\partial_{xx}u(x, y) - \mathcal{O}(h^3). \quad (2.6)$$

Analog können wir diese Betrachtung für $u(x, y + h)$ und $u(x, y - h)$ durchführen:

$$u(x, y + h) = u(x, y) + h\partial_y u(x, y) + \frac{h^2}{2!}\partial_{yy}u(x, y) + \mathcal{O}(h^3), \quad (2.7)$$

$$u(x, y - h) = u(x, y) - h\partial_y u(x, y) + \frac{h^2}{2!}\partial_{yy}u(x, y) - \mathcal{O}(h^3). \quad (2.8)$$

Löst man nun Gleichung 2.5 und Gleichung 2.6 jeweils nach $\partial_{xx}u(x, y)$ auf, wobei der Term dritter Ordnung ignoriert wird und addiert beide Gleichungen, so erhält man:

$$\partial_{xx}u(x, y) + \mathcal{O}(h^2) = \frac{u(x - h, y) - 2u(x, y) + u(x + h, y)}{h^2}. \quad (2.9)$$

Ebenso lösen wir nach $\partial_{yy}u(x, y)$ auf, addieren und erhalten:

$$\partial_{yy}u(x, y) + \mathcal{O}(h^2) = \frac{u(x, y - h) - 2u(x, y) + u(x, y + h)}{h^2}. \quad (2.10)$$

Diese Näherungen nennt man den **zentralen Differenzenquotienten der zweiten Ableitung**. $\mathcal{O}(h^2)$ ist ein Term zweiter Ordnung und wird vernachlässigt.

Somit erhalten wir für $-\Delta u(x, y)$ die Näherung

$$-\Delta u(x, y) = \frac{u(x - h, y) - u(x + h, y) + 4u(x, y) - u(x, y - h) - u(x, y + h)}{h^2}. \quad (2.11)$$

2.2.2 Diskretisierung von Ω

Mit einem zweidimensionalen Gitter, der Gitterweite h , wobei $h \in \mathbb{Q}$ mit $h = \frac{1}{m}$ und $m \in \mathbb{N}_{>1}$, wird nun das Gebiet Ω diskretisiert. Die Zahl $N := (m - 1)$ gibt uns an, wie viele Gitterpunkte es jeweils in x - bzw. y -Richtung gibt.

Für $i, j = 1, \dots, N$ fassen wir $u(x, y)$ auf als:

$$u(x_i, y_j) = u(ih, jh). \quad (2.12)$$

Ω schreiben wir als Ω_h , so dass gilt:

$$\Omega_h := \{u(ih, jh) | 1 \leq i, j \leq N\}. \quad (2.13)$$

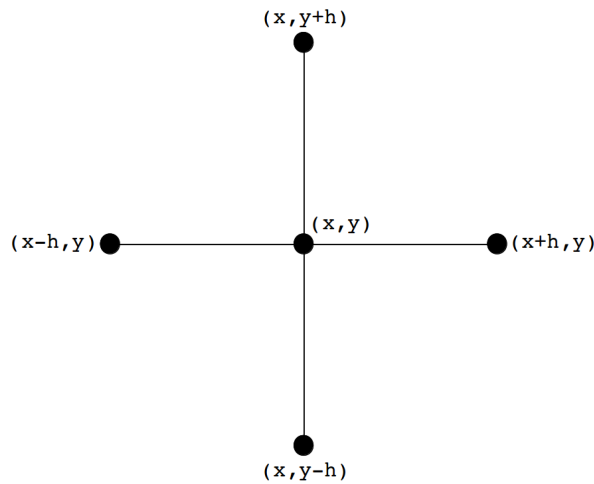


Abbildung 2.1: 5-Punkt-Differenzenstern im Gitter, wobei für alle $1 < i, j < N$ jeder Punkt $(x, y) \in \Omega_h$ genau vier Nachbarn in Ω_h besitzt.

Mit Gleichung 2.11 fassen wir $\Delta u(x, y) = \Delta_h u(x, y)$ für alle $(x, y) \in \Omega_h$ in diskretisierter Form auf als:

$$-\Delta_h u(x, y) = \frac{u(x-h, y) - u(x+h, y) + 4u(x, y) - u(x, y-h) - u(x, y+h)}{h^2}. \quad (2.14)$$

Man stellt $\Delta_h u(x, y)$ auch als 5-Punkt-Differenzenstern (Abbildung 2.1) in der

2 Diskretisierung der Poisson-Gleichung im \mathbb{R}^2

Form

$$[-\Delta_h]_{\xi} = \frac{1}{h^2} \begin{pmatrix} & -1 & & \\ -1 & 4 & -1 & \\ & -1 & & \end{pmatrix}, \xi \in \Omega_h \quad (2.15)$$

dar. (Dahmen Reusken)

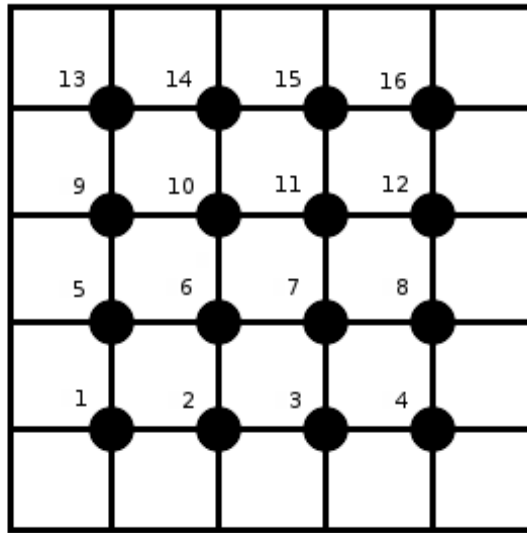


Abbildung 2.2: Nummerierung der Punkte von $\Omega = (0,1)^2$ mit $m = 5$. In x- bzw. y-Richtung gibt es jeweils $N = 4$ Punkte.

Es werden nun alle Gitterpunkte des Gitters fortlaufend von links unten nach rechts oben (Abbildung 2.2) nummeriert (Lexikographische Nummerierung). Stellt man nun Gleichung 2.14 für jeden Punkt auf, so führt dies auf eine $N^2 \times N^2$ -Matrix, in der die Koeffizienten der Gleichung abgespeichert werden. Die vierfache Gewichtung der Funktion $u(x, y)$ steht in der Diagonale. Der linke bzw. der rechte Nachbar im Gitter sind auf der unteren bzw. oberen Nebendiagonalen zu finden, so fern der Nachbar in Ω_h liegt. Die oberen bzw. unteren Nachbarn, falls diese in Ω_h liegen, werden jeweils auf der $N - ten$ Nebendiagonalen der Matrix gespeichert.

2 Diskretisierung der Poisson-Gleichung im \mathbb{R}^2

$$\mathbf{A} = \frac{1}{h^2} \begin{pmatrix} A_1 & -Id & & \\ -Id & A_2 & \ddots & \\ & \ddots & \ddots & -Id \\ & & -Id & A_n \end{pmatrix}, \quad (2.16)$$

wobei $\mathbf{Id} \in \mathbb{R}^{N \times N}$ die Identität meint und für alle $i = 0, \dots, N$ gilt:

$$A_i = \begin{pmatrix} 4 & -1 & & & \\ -1 & 4 & -1 & & \\ & -1 & 4 & -1 & \\ & & \ddots & \ddots & \ddots \\ & & & -1 & 4 & -1 \\ & & & & -1 & 4 & -1 \\ & & & & & -1 & 4 \end{pmatrix} \quad (2.17)$$

$A_i \in \mathbb{R}^{N \times N}$.

Nun wissen wir, wie $-\Delta u_h$ in Matrixform aussieht. Man nennt eine Matrix bei der viele Einträge gleich Null sind dünn besetzt oder sparse. Die rechte Seite f der partiellen Differentialgleichung kann nun ebenfalls in diskretisierter Form f_h geschrieben werden. Zu jeder Komponente von f_h , die einen Randpunkt als Nachbarn hat, wird dieser dazu addiert. Hat eine Komponente von f_h zwei Nachbarn in $\partial\Omega_h$, werden beide addiert. Dies führt uns auf folgende rechte Seite, wobei wir diese nun als f auffassen wollen [Dahmen/Reusken]:

$$f = \begin{pmatrix} f_1 \\ f_2 \\ \vdots \\ f_N \end{pmatrix}, \quad (2.18)$$

wobei gilt

$$f_1 = \begin{pmatrix} f(h, h) + h^{-2}(g(h, 0) + g(0, h)) \\ f(2h, h) + h^{-2}(g(2h, 0)) \\ \vdots \\ f(1 - 2h, h) + h^{-2}(g(1 - 2h, 0)) \\ f(1 - h, h) + h^{-2}(g(1 - h, 0) + g(0, 1 - h)) \end{pmatrix}, \quad (2.19)$$

2 Diskretisierung der Poisson-Gleichung im \mathbb{R}^2

$$f_j = \begin{pmatrix} f(h, jh) + h^{-2}(g(0, jh)) \\ f(2h, jh) \\ \vdots \\ f(1-2h, jh) \\ f(1-h, jh) + h^{-2}(g(1, jh)) \end{pmatrix} \quad 2 \leq j \leq N-1, \quad (2.20)$$

$$f_N = \begin{pmatrix} f(h, 1-h) + h^{-2}(g(h, 1) + g(0, 1-h)) \\ f(2h, 1-h) + h^{-2}(g(2h, 1)) \\ \vdots \\ f(1-2h, 1-h) + h^{-2}(g(1-2h, 1)) \\ f(1-h, 1-h) + h^{-2}(g(1-h, 1) + g(1, 1-h)) \end{pmatrix}. \quad (2.21)$$

Somit ergibt sich das lineare Gleichungssystem $\mathbf{A}u = f$, wobei \mathbf{A} der diskretisierte Laplace-Operator ist, f die rechte Seite der Gleichung darstellt und u die approximierte Lösung der partiellen Differentialgleichung enthält.

Wir bezeichnen ab jetzt die diskrete 2D Poisson Matrix aus Gleichung 2.16 mit \mathbf{A}_{2D} .

Außerdem gilt für die Schrittweite stets $h = \frac{1}{m}$, wobei $m \in \mathbb{N}_{m>1}$. Zudem setzen wir $N = m - 1$ und $n = N^2$, so dass wir die Poisson Matrix als eine Matrix $\mathbf{A}_{2D} \in \mathbb{R}^{n \times n}$ auffassen werden.

2.3 Eigenschaften der Matrix \mathbf{A}_{2D}

$\mathbf{A}_{2D} \in \mathbb{R}^{n \times n}$ ist symmetrisch, da $\mathbf{A}_{2D} = \mathbf{A}_{2D}^T$. Somit existiert eine Orthogonalbasis aus Eigenvektoren für die gilt:

$$\mathbf{A}_{2D}v_{i,j} = \lambda_{i,j}v_{i,j}, \quad (2.22)$$

wobei $\lambda_{1,1}, \dots, \lambda_{N,N} \in \mathbb{R}$ und $v_{i,j} \in \mathbb{R}^n$.

2.3.1 Eigenwerte und Eigenvektoren von A_{2D}

Für $k, l \in \mathbb{N}$ sei $(x_k, y_l) \in \Omega_h$ mit $x_k := k \cdot h, y_l := l \cdot h$. Zudem sind $\theta_k, \theta_l \in \mathbb{R}$ mit $\theta_k := k\pi h$ bzw. $\theta_l := l\pi h$. Dann gilt für die Eigenwerte:

$$\lambda_{k,l} = 4 \left(\sin^2\left(\frac{\theta_k}{2}\right) + \sin^2\left(\frac{\theta_l}{2}\right) \right) \text{ für } 1 \leq k, l \leq N. \quad (2.23)$$

Für einen Eigenvektor am Punkt (x_k, y_l) gilt:

$$v_{k,l} = \sin(i\pi x_k) \sin(j\pi y_l) = \sin(i\theta_k) \sin(j\theta_l) \text{ für } 1 \leq i, j \leq N. \quad (2.24)$$

Bemerkung:

Ein Eigenvektor im Punkt (x_k, y_l) lässt sich auch in der folgenden Form darstellen:

$$v_{k,l} = \begin{pmatrix} \sin(\theta_k) \sin(\theta_l) \\ \sin(\theta_k) \sin(2\theta_l) \\ \vdots \\ \sin(\theta_k) \sin(N\theta_l) \\ \sin(2\theta_k) \sin(\theta_l) \\ \sin(2\theta_k) \sin(2\theta_l) \\ \vdots \\ \sin(N\theta_k) \sin((N-1)\theta_l) \\ \sin(N\theta_k) \sin(N\theta_l) \end{pmatrix}. \quad (2.25)$$

Beispiel:

Um sich die Eigenvektoren besser vorstellen zu können, wollen wir zunächst drei Eigenvektoren des eindimensionalen Poisson Problems betrachten. Es wird das Gebiet $\Omega_h = (0, 1)$ diskretisiert und es gilt $u(x)' = g(x)$ mit Randbedingung $u(x) = f(x)$. Dann erhält man auf einem Gitter $(0, 1)$ mit $h = \frac{1}{m}$ wie oben, die Eigenvektoren in den Punkten 1,7 und 13:

2 Diskretisierung der Poisson-Gleichung im \mathbb{R}^2

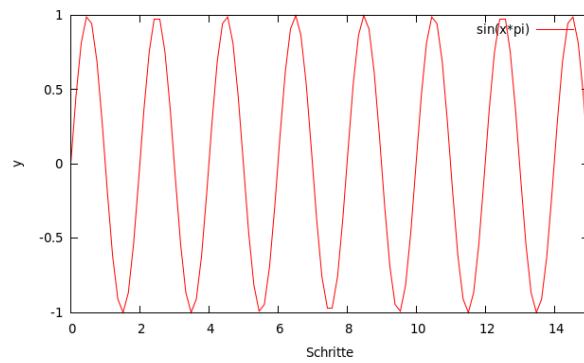


Abbildung 2.3: Dieser Graph stellt den Eigenvektor am ersten Punkt, also $h = \frac{1}{15}$ dar. Zu sehen sind harmonische, kurzweilige Sinuskurven.

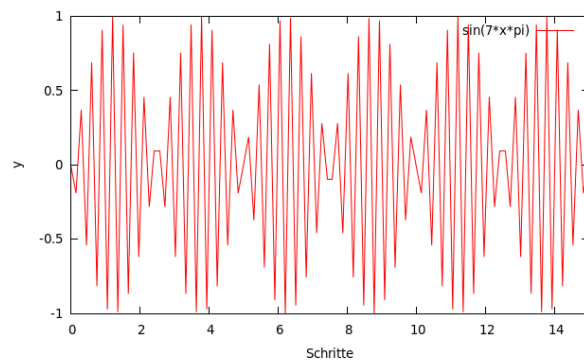


Abbildung 2.4: Bei diesen stark oszillierenden Sinuswellen handelt es sich um den Eigenvektor im Punkt $\frac{7}{15}$.

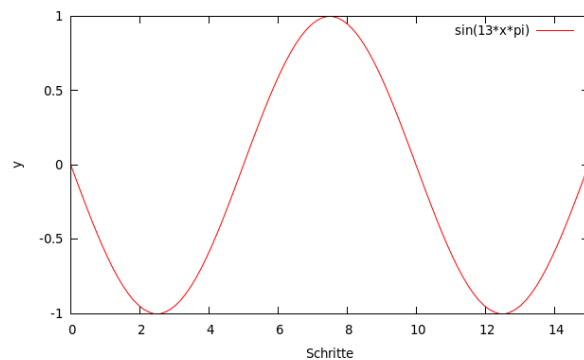


Abbildung 2.5: Diese langen Sinuswellen gehören zum Punkt $\frac{13}{15}$.

Man sieht deutlich, dass die Oszillation der einzelnen Eigenvektoren unterschiedlich ist. Manche der Eigenvektoren sind langwellig, andere kurzweilig. Wenn wir

2 Diskretisierung der Poisson-Gleichung im \mathbb{R}^2

nun zurück zu unserer Ausgangssituation des zweidimensionalen Poisson Problems gehen und das Gitter aus Abbildung 2.2 als Basis nehmen, erhalten wir für den Punkt 11 des Gitters folgende Darstellung des Eigenvektors:

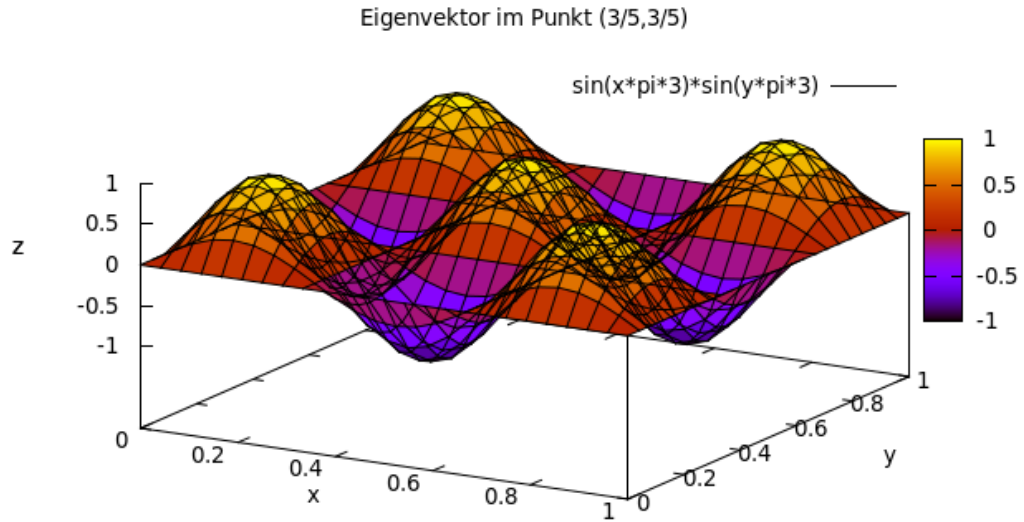


Abbildung 2.6: Es sind die Sinuswellen des Eigenvektors im Gitterpunkt $(\frac{3}{5}, \frac{3}{5})$ zu sehen. Sie sind langwellig und nur schwach oszillierend.

Man kann dieses Bild in etwa mit Abbildung 2.5 vergleichen. Dieser Eigenvektor besitzt eine langwellige Oszillation.

Beweis zu Unterabschnitt 2.3.1:

Wir wollen zunächst die $\mathbf{A}_i \in \mathbb{R}^{N \times N}$ von $\mathbf{A} \in \mathbb{R}^{n \times n}$ genauer betrachten.

Behauptung: Für eine Matrix $\mathbf{B} \in \mathbb{R}^{N \times N}$ mit

$$\mathbf{B} = \begin{pmatrix} a & b & & & \\ c & a & b & & \\ & \ddots & \ddots & \ddots & \\ & & c & a & b \\ & & & c & a \end{pmatrix} \quad (2.26)$$

gilt für die Eigenwerte $\lambda_k = a + 2b \left(\frac{c}{b}\right)^{\frac{1}{2}} \cos(\theta_k)$ und die Eigenvektoren $v_{k_i} = \left(\frac{c}{b}\right)^{\frac{i}{2}} \sin(i\theta_k)$ für alle $1 \leq i \leq N$, $\lambda_k \in \mathbb{R}$, $v_k \in \mathbb{R}^{N \times N}$.

2 Diskretisierung der Poisson-Gleichung im \mathbb{R}^2

Beweis:

Da λ_k, v_k Eigenwerte bzw. Eigenvektoren von \mathbf{B} sind, gilt folgende Gleichung:

$$(\mathbf{B} - \lambda_k \mathbf{Id})v_k = 0 \quad (2.27)$$

$$\Leftrightarrow \begin{pmatrix} a - \lambda_k & b & & & \\ c & a - \lambda_k & b & & \\ & \ddots & \ddots & \ddots & \\ & & c & a - \lambda_k & b \\ & & & c & a - \lambda_k \end{pmatrix} v_k = 0 \quad (2.28)$$

$$\Leftrightarrow \begin{pmatrix} (a - \lambda_k)v_{k_1} + bv_{k_2} \\ cv_{k_1} + (a - \lambda_k)v_{k_2} + bv_{k_3} \\ \vdots \\ cv_{k_{N-2}} + (a - \lambda_k)v_{k_{N-1}} + bv_{k_N} \\ cv_{k_{N-1}} + (a - \lambda_k)v_{k_N} \end{pmatrix} = 0 \quad (2.29)$$

Wir wollen zunächst die einzelnen Summanden ausrechnen bzw. vereinfachen. Dabei benutzen wir u.a. die Additionstheoreme:

1. Löse $(a - \lambda_k)v_{k_i}$

$$\begin{aligned} (a - \lambda_k)v_{k_i} &= (a - (a + 2b \left(\frac{c}{b}\right)^{\frac{1}{2}} \cos(\theta_k))) \left(\frac{c}{b}\right)^{\frac{i}{2}} \sin(i\theta_k) \\ &= -2b \left(\frac{c}{b}\right)^{\frac{i+1}{2}} \cos(\theta_k) \sin(i\theta_k) \end{aligned}$$

2. Löse $bv_{k_{i+1}}$

$$\begin{aligned} bv_{k_{i+1}} &= b \left(\frac{c}{b}\right)^{\frac{i+1}{2}} \sin((i+1)\theta_k) \\ &= b \left(\frac{c}{b}\right)^{\frac{i+1}{2}} (\cos(\theta_k) \sin(i\theta_k) + \cos(i\theta_k) \sin(\theta_k)) \end{aligned}$$

2 Diskretisierung der Poisson-Gleichung im \mathbb{R}^2

3. Löse $cv_{k_{i-1}}$

$$\begin{aligned}
 cv_{k_{i-1}} &= c \left(\frac{c}{b} \right)^{\frac{i-1}{2}} \sin((i-1)\theta_k) = \left(c^2 \frac{c}{b} \right)^{\frac{i-1}{2}} \sin((i-1)\theta_k) \\
 &= \left(\frac{1}{b^{-2}} \frac{c}{b} \right)^{\frac{i+1}{2}} \sin((i-1)\theta_k) = b \left(\frac{c}{b} \right)^{\frac{i+1}{2}} \sin((i-1)\theta_k) \\
 &= b \left(\frac{c}{b} \right)^{\frac{i+1}{2}} (\cos(\theta_k) \sin(i\theta_k) - \cos(i\theta_k) \sin(\theta_k))
 \end{aligned}$$

Nun rechnen wir jede Zeile unseres Vektors aus:

1. $i = 1$

$$\begin{aligned}
 &-2b \left(\frac{c}{b} \right)^{\frac{1+1}{2}} \cos(\theta_k) \sin(\theta_k) + b \left(\frac{c}{b} \right)^{\frac{1+1}{2}} (\cos(\theta_k) \sin(\theta_k) + \cos(\theta_k) \sin(\theta_k)) \\
 &= c(-2 \cos(\theta_k) \sin(\theta_k) + 2 \cos(\theta_k) \sin(\theta_k)) = 0.
 \end{aligned}$$

2. für alle $2 \leq i \leq N-1$

$$\begin{aligned}
 &b \left(\frac{c}{b} \right)^{\frac{i+1}{2}} (\cos(\theta_k) \sin(i\theta_k) - \cos(i\theta_k) \sin(\theta_k)) - 2b \left(\frac{c}{b} \right)^{\frac{i+1}{2}} \cos(\theta_k) \sin(i\theta_k) \\
 &+ b \left(\frac{c}{b} \right)^{\frac{i+1}{2}} (\cos(\theta_k) \sin(i\theta_k) - \cos(i\theta_k) \sin(\theta_k)) \\
 &= b \left(\frac{c}{b} \right)^{\frac{i+1}{2}} (-2 \cos(\theta_k) \sin(i\theta_k) + 2 \cos(\theta_k) \sin(i\theta_k) \\
 &+ \cos(i\theta_k) \sin(\theta_k) - \cos(i\theta_k) \sin(\theta_k)) = 0.
 \end{aligned}$$

3. $i = N$

$$\begin{aligned}
 &b \left(\frac{c}{b} \right)^{\frac{N+1}{2}} (\cos(\theta_k) \sin(N\theta_k) - \cos(N\theta_k) \sin(\theta_k)) - 2b \left(\frac{c}{b} \right)^{\frac{N+1}{2}} \cos(\theta_k) \sin(N\theta_k) \\
 &= b \left(\frac{c}{b} \right)^{\frac{N+1}{2}} (-2 \cos(\theta_k) \sin(N\theta_k) + \cos(\theta_k) \sin(N\theta_k) - \cos(N\theta_k) \sin(\theta_k)) \\
 &= -b \left(\frac{c}{b} \right)^{\frac{N+1}{2}} (\cos(\theta_k) \sin(N\theta_k) + \cos(N\theta_k) \sin(\theta_k)). \\
 &= -b \left(\frac{c}{b} \right)^{\frac{N+1}{2}} \sin((N+1)\theta_k) \stackrel{h=\frac{1}{N+1}}{=} -b \left(\frac{c}{b} \right)^{\frac{N+1}{2}} \sin(k\pi) = 0.
 \end{aligned}$$

■

Für die Matrizen A_i erhalten wir mit $a = 4, b = c = -1$ für die Eigenwerte $\lambda_k = 4(1 - \frac{1}{2} \cos(\theta_k))$ und die Eigenvektoren $v_k = \sin(i\theta_k)$ für alle $1 \leq i \leq N$.

2 Diskretisierung der Poisson-Gleichung im \mathbb{R}^2

Offensichtlich hat auch $-\mathbf{Id}$ die selben Eigenvektoren wie A_i , mit den Eigenwerten $\mu_k = -1$, denn

$$(-\mathbf{Id} - \lambda_k \mathbf{Id})v_k = \mathbf{0}v_k = 0. \quad (2.30)$$

Nun wollen wir diese Erkenntnisse für die Matrix $\mathbf{A}_{2D} \in \mathbb{R}^{n \times n}$ verwenden. Da diese Matrix ebenfalls eine Tridiagonalmatrix ist, folgt für $a = A_j$, wobei $1 \leq j \leq N$ und $b = c = -Id$.

Der gesuchte Eigenvektor in einem Punkt (x_k, y_l) war gegeben durch $v_{k,l} = \sin(i\theta_k) \sin(j\theta_l)$ für alle $1 \leq k, l \leq N$. Diese Eigenvektoren können wir auch auffassen als $v_{k,l} = \sin(\theta_l)v_k$ für alle $1 \leq k, l \leq N$. Wegen \mathbf{A}_{2D} symmetrisch folgt:

$$\begin{aligned} \mathbf{A}_{2D}v_{k,l} &= \begin{pmatrix} A_1 & -Id & & & \\ -Id & A_2 & -Id & & \\ & \ddots & \ddots & \ddots & \\ & & -Id & A_{n-1} & -Id \\ & & & -Id & A_n \end{pmatrix} \begin{pmatrix} \sin(\theta_l)v_k \\ \sin(2\theta_l)v_k \\ \vdots \\ \sin((N-1)\theta_l)v_k \\ \sin(N\theta_l)v_k \end{pmatrix} \\ &= \lambda_{k,l} \begin{pmatrix} \sin(\theta_l)v_k \\ \sin(2\theta_l)v_k \\ \vdots \\ \sin((N-1)\theta_l)v_k \\ \sin(N\theta_l)v_k \end{pmatrix} \end{aligned}$$

Für $1 \leq l, k \leq N$ werden wir nun $\mathbf{A}_{2D}v_{k,l}$ explizit ausrechnen und müssen dafür wieder drei Fälle unterscheiden:

2 Diskretisierung der Poisson-Gleichung im \mathbb{R}^2

1. $j = 1$

$$\begin{aligned}
 & \underbrace{A_1 v_k \sin(\theta_l)}_{=\lambda_k v_k} + \underbrace{(-Id v_k)}_{\mu_k v_k} \underbrace{\sin(2\theta_l)}_{\sin(\theta_k + \theta_l) = 2 \cos(\theta_l) \sin(\theta_l)} \\
 &= \lambda_k v_k \sin(\theta_l) + 2 \mu_k v_k \cos(\theta_l) \sin(\theta_l) \\
 &= (\lambda_k + 2 \mu_k \cos(\theta_l)) \underbrace{v_k \sin(\theta_l)}_{v_{k,l}} = (\lambda_k + 2 \mu_k \cos(\theta_l)) v_{k,l} \\
 &= (4(1 - \frac{1}{2} \cos \theta_k) - 2 \cos(\theta_l)) v_{k,l} = (4 - 2 \cos(\theta_k) - 2 \cos(\theta_l)) v_{k,l} \\
 &= (2 - 2 \cos(\theta_k) + 2 - 2 \cos(\theta_l)) v_{k,l} \\
 &= \underbrace{(2(1 - \frac{1}{2} \cos(\theta_k)) + 2(1 - \frac{1}{2} \cos(\theta_l)))}_{\text{mit } 2 - \cos(x) = \sin^2(\frac{x}{2})} v_{k,l} \\
 &= 4 \left(\sin^2(\frac{\theta_k}{2}) + \sin^2(\frac{\theta_l}{2}) \right) v_{k,l}
 \end{aligned}$$

2. für alle $2 \leq j \leq N - 1$

$$\begin{aligned}
 & \implies -Id v_k \sin((j-1)\theta_l) + A_j v_k \sin(j\theta_l) - Id v_k \sin((j+1)\theta_l) \\
 &= \mu_k v_k (\sin(j\theta_l) \cos(\theta_l) - \cos(j\theta_l) \sin(\theta_l)) + \lambda_k v_k \sin(j\theta_l) \\
 &- \mu_k v_k (\sin(j\theta_l) \cos(\theta_l) + \cos(j\theta_l) \sin(\theta_l)) \\
 &= 2 \mu_k v_k \sin(j\theta_l) \cos(\theta_l) + \lambda_k v_k \sin(j\theta_l) = (\lambda_k + \mu_k \cos(\theta_l)) \underbrace{v_k \sin(j\theta_l)}_{\sin(j\theta_l) v_k} \\
 &= (\lambda_k + \mu_k \cos(\theta_l)) \sin(j\theta_l) v_{k,l} \stackrel{\text{wie oben}}{=} 4 \left(\sin^2(\frac{\theta_k}{2}) + \sin^2(\frac{\theta_l}{2}) \right) v_{k,l}
 \end{aligned}$$

3. $j = N$

$$\begin{aligned}
 & \implies -Id v_k \sin((N-1)\theta_l) + A_N v_k \sin(N\theta_l) \\
 &= \mu_k v_k (\sin((N-1)\theta_l) + \underbrace{\sin((N+1)\theta_l)}_{=0}) + \lambda_k v_k \sin(N\theta_l) \\
 &= \mu_k v_k (\sin(N\theta_l) \cos(\theta_l) - \cos(N\theta_l) \sin(\theta_l) + \sin(N\theta_l) \cos(\theta_l) \\
 &+ \cos(N\theta_l) \sin(\theta_l)) + \lambda_k v_k \sin(N\theta_l) \\
 &= 2 \mu_k v_k \sin(N\theta_l) \cos(\theta_l) + \lambda_k v_k \sin(N\theta_l) \\
 &= (\lambda_k + 2 \mu_k \cos(\theta_l)) \underbrace{v_k \sin(N\theta_l)}_{\sin(N\theta_l) v_k} \stackrel{\text{wie oben}}{=} 4 \left(\sin^2(\frac{\theta_k}{2}) + \sin^2(\frac{\theta_l}{2}) \right) v_{k,l}
 \end{aligned}$$

2 Diskretisierung der Poisson-Gleichung im \mathbb{R}^2

Also sind die $\lambda_{k,l}$ Eigenwerte von \mathbf{A}_{2D} zu den Eigenvektoren $v_{k,l}$.

■

2.3.2 Folgerung (\mathbf{A}_{2D} ist s.p.d.)

Für die Eigenwerte $\lambda_{k,l} \in \mathbb{R}$ von \mathbf{A}_{2D} gilt:

$$\lambda_{k,l} > 0, \quad (2.31)$$

d.h. die Poisson Matrix ist symmetrisch positiv definit.

Beweis:

Mit $\sin^2(x) \in (0, 1)$ für $x \in (0, \frac{\pi}{2})$ und $0 < \frac{\pi h}{2} < \frac{\pi}{2}$ gilt:

$$\lambda_{k,l} = 4 \left(\sin^2\left(\frac{\theta_k}{2}\right) + \sin^2\left(\frac{\theta_l}{2}\right) \right) > 0. \quad (2.32)$$

■

2.3.3 Definition (Kondition einer symmetrischen Matrix)

Sei \mathbf{A} eine symmetrische Matrix des $\mathbb{R}^{n \times n}$. Dann gilt für die euklidische Kondition der Matrix:

$$\kappa_2(A) := \frac{\lambda_{\max}}{\lambda_{\min}} \geq 1. \quad (2.33)$$

Je kleiner die Konditionszahl κ , desto besser ist eine Matrix konditioniert.

2.3.4 Lemma (Kondition von \mathbf{A}_{2D})

Für die Kondition der Matrix \mathbf{A}_{2D} gilt:

$$\kappa_2(A_{2D}) = \frac{\cos^2\left(\frac{\pi h}{2}\right)}{\sin^2\left(\frac{\pi h}{2}\right)}. \quad (2.34)$$

Beweis:

2 Diskretisierung der Poisson-Gleichung im \mathbb{R}^2

Es gilt mit $h = \frac{1}{m}$, $N = m - 1$ und weil $\sin^2(x) \in (0, 1)$ streng monoton steigend ist für $x \in (0, \frac{\pi}{2})$:

$$\lambda_{min} = \lambda_{1,1} = 4(\sin(\frac{\pi h}{2}) + \sin(\frac{\pi h}{2})) = 8 \sin^2(\frac{\pi h}{2}), \quad (2.35)$$

$$\begin{aligned} \lambda_{max} &= \lambda_{N,N} = 8 \sin^2(\frac{N\pi h}{2}) \stackrel{h=\frac{1}{m}, N=m-1}{=} 8 \sin^2(\frac{(m-1)\pi}{2m}) \\ &= 8 \sin^2(\frac{\pi}{2} - \frac{\pi}{2m}) = 8 \sin^2(\frac{\pi}{2} - \frac{\pi h}{2}) \\ &= 8(\sin(\frac{\pi}{2}) \cos(\frac{\pi h}{2})) - \cos(\frac{\pi h}{2}) \sin(\frac{\pi}{2})^2 \\ &= 8 \cos^2(\frac{\pi h}{2}). \end{aligned} \quad (2.36)$$

Somit folgt aus Gleichung 2.35 und Gleichung 2.36:

$$\kappa_2(A_{2D}) = \frac{\lambda_{N,N}}{\lambda_{1,1}} = \frac{\cos^2(\frac{\pi h}{2})}{\sin^2(\frac{\pi h}{2})}.$$

■

In [DahmenReusken] wird außerdem gezeigt, dass sich $\kappa_2(\mathbf{A}_{2D})$ wie folgt nähern lässt:

$$\frac{\cos^2(\frac{\pi h}{2})}{\sin^2(\frac{\pi h}{2})} = \left(\frac{2}{\pi h}\right)^2 (1 + \mathcal{O}(h^2)). \quad (2.37)$$

Natürlich wollen wir die Funktion $u(x, y)$ so gut wie möglich in Ω_h approximieren. Wir sind daher bestrebt das Gitter so fein als möglich zu wählen. Daraus ergibt sich jedoch die negative Eigenschaft von \mathbf{A}_{2D} .

Je größer m gewählt wird, also je feiner das Gitter wird, desto schlechter wird die Kondition der Matrix.

$$\left(\frac{2}{\pi h}\right)^2 (1 + \mathcal{O}(h^2)) = \left(\frac{2}{\pi \frac{1}{m}}\right)^2 (1 + \mathcal{O}(\frac{1}{m^2})) \approx \frac{4m^2}{\pi}. \quad (2.38)$$

Man sieht, dass die Kondition der Matrix quadratisch mit m mit wächst.

3 Iterative Lösungsverfahren für lineare Gleichungssysteme

Gleichungssysteme, die partielle Differentialgleichungen lösen, sind im Allgemeinen sehr groß. Aus diesem Grund sind direkte Verfahren, wie z.B. der Gauß-Algorithmus oder die LR-Zerlegung nicht geeignet. Ihr Rechenaufwand beläuft sich im Allgemeinen auf $\mathcal{O}(n^3)$ und ist zu langsam.

Wesentlich besser geeignet für diese Problemstellung sind iterative Verfahren. Sie zeichnen sich durch eine schnelle Konvergenz und einen geringeren Rechenaufwand aus.

Ein Großteil der Definitionen, Sätze und Lemmata in diesem Kapitel sind sinngemäß aus Dahmen/Reusken.

3.1 Grundbegriffe

3.1.1 Definition (Iterationsmatrix)

Sei $\mathbf{A} \in \mathbb{R}^{n \times n}$. Sei außerdem $\mathbf{C} \in \mathbb{R}^{n \times n}$ eine nichtsinguläre Matrix. Für die iterative Lösung eines linearen Gleichungssystems der Form $\mathbf{A}u = f$ ist die Iterationsmatrix $\mathbf{T} \in \mathbb{R}^{n \times n}$ definiert als:

$$\mathbf{T} := (\mathbf{Id} - \mathbf{CA}), \quad (3.1)$$

wobei die Iterationsvorschrift für $k = 1, \dots, n$ gegeben ist durch:

$$u^{k+1} = (\mathbf{Id} - \mathbf{CA})u^k + \mathbf{C}f. \quad (3.2)$$

3.1.2 Definition (Spektralradius)

Sei $\mathbf{A} \in \mathbb{R}^{n \times n}$. Und seien für alle $i = 1, \dots, n$: $\lambda_i \in \mathbb{R}$. Dann gilt:

$$\rho(\mathbf{A}) := \max_{1 \leq i \leq n} |\lambda_i|. \quad (3.3)$$

Ist \mathbf{A} symmetrisch so gilt auch $\rho(\mathbf{A}) = \|\mathbf{A}\|_2$ und $\lambda_i \in \mathbb{R}_{>0}$ für alle $i = 1, \dots, n$.

3.1.3 Satz (Konvergenz iterativer Verfahren)

Ein iteratives Verfahren mit beliebigem Startvektor $u^0 \in \mathbb{R}^n$ konvergiert genau dann gegen die exakte Lösung $u^* \in \mathbb{R}^n$, wenn gilt:

$$\rho(\mathbf{T}) = \rho(\mathbf{Id} - \mathbf{CA}) < 1. \quad (3.4)$$

Einen Beweis hierzu findet man z.B. in (Dahmen/Reusken und Verweis).

3.1.4 Definition (Residuum und Fehler)

Sei $u^* \in \mathbb{R}^n$ die exakte Lösung des linearen Gleichungssystems $Au = f$. Sei weiterhin $u^k \in \mathbb{R}^n$ die Approximation der Lösung im k -ten Iterationsschritt. Dann gilt für das Residuum:

$$r^k := f - \mathbf{A}u^k. \quad (3.5)$$

Der Fehler, also die Diskrepanz zwischen exakter und approximierter Lösung, ist definiert als:

$$e^k := u^* - u^k. \quad (3.6)$$

Durch Multiplikation mit der Matrix \mathbf{A} ergibt sich:

$$\begin{aligned} e = u^* - u &\Leftrightarrow \mathbf{A}e = \mathbf{A}(u^* - u) \\ \Leftrightarrow \mathbf{A}e &= \mathbf{A}u^* - \mathbf{A}u \Leftrightarrow \mathbf{A}e = b - \mathbf{A}u \\ \Leftrightarrow \mathbf{A}e &= r. \end{aligned} \quad (3.7)$$

$\mathbf{A}e = r$ nennen wir Residuumsleichung.

3.2 Das Jacobi-Verfahren (Gesamtschrittverfahren)

Sei $\mathbf{A} \in \mathbb{R}^{n \times n}$ und $f, u \in \mathbb{R}^n$, wobei u die Lösung des linearen Gleichungssystems $\mathbf{A}u = f$ ist. Dann lässt sich \mathbf{A} wie folgt zerlegen:

$$\mathbf{A} = \mathbf{D} - \mathbf{L} - \mathbf{U}. \quad (3.8)$$

Dabei sind $\mathbf{D}, \mathbf{L}, \mathbf{U} \in \mathbb{R}^{n \times n}$, mit $\mathbf{D} = \text{diag}(a_{1,1}, \dots, a_{n,n})$, \mathbf{L} strikte untere und \mathbf{U} strikte obere Dreiecksmatrix.

Somit ergibt sich für $\mathbf{A}u = f$:

$$\mathbf{A}u = f \Leftrightarrow (\mathbf{D} - \mathbf{L} - \mathbf{U})u = f \Leftrightarrow \mathbf{D}u = (\mathbf{L} + \mathbf{U})u + f. \quad (3.9)$$

Ist nun \mathbf{D} nicht singulär, so gilt für das Jacobi-Verfahren folgende Iterationsvorschrift:

$$\mathbf{D}u^{k+1} = (\mathbf{L} + \mathbf{U})u^k + f \Leftrightarrow u^{k+1} = \mathbf{D}^{-1}(\mathbf{L} + \mathbf{U})u^k + \mathbf{D}^{-1}f. \quad (3.10)$$

3.2.1 Algorithmus (Jacobi-Verfahren)

Mit einem Startvektor $u^0 \in \mathbb{R}^n$ beliebig und $k = 1, 2, \dots$, berechne für $i = 1, \dots, n$:

$$u_i^{k+1} = \frac{1}{a_{ii}} \left(f_i - \sum_{\substack{j=1 \\ j \neq i}}^n a_{ij} u_j^k \right). \quad (3.11)$$

In jedem Schritt zur Berechnung von u^{k+1} muss im Algorithmus die Information seines Vorgängers u^k bekannt sein. Der Rechenaufwand pro Iterationsschritt beträgt $\mathcal{O}(n^2)$ und entspricht somit einer Matrix-Vektor-Multiplikation.

3.2.2 Satz (Iterationsmatrix des Jacobi-Verfahrens)

Für die Iterationsmatrix des Jacobi-Verfahrens gilt:

$$\mathbf{T}_J := (\mathbf{Id} - \mathbf{D}^{-1}\mathbf{A}) \quad (3.12)$$

Hier ist also $\mathbf{C} = \mathbf{D}^{-1}$

Beweis:

Mit der Iterationsvorschrift folgt:

$$\begin{aligned} u^{k+1} &= D^{-1}(L + U)u^k + D^{-1}f \stackrel{(L+U)=(D-A)}{=} D^{-1}(D - A)u^k + D^{-1}f \\ &= (Id - D^{-1}A)u^k + D^{-1}f. \end{aligned}$$

Also $\mathbf{T}_J = (\mathbf{Id} - \mathbf{D}^{-1}\mathbf{A})$.

■

3.2.3 Satz (Eigenwerte von \mathbf{T}_J bzgl. \mathbf{A}_{2D})

Man sieht leicht ein, dass die Eigenvektoren von \mathbf{T}_J gleich denen von \mathbf{A}_{2D} sind. Dann gilt für die Eigenwerte der Iterationsmatrix:

$$\lambda_{i,j}(\mathbf{T}_J) = 1 - \left(\sin^2\left(\frac{\theta_i}{2}\right) + \sin^2\left(\frac{\theta_j}{2}\right) \right), \quad (3.13)$$

für $1 \leq i, j \leq N$ und θ_i, θ_j wie in Unterabschnitt 2.3.1.

Beweis:

Dieser folgt direkt mit dem Beweis aus Unterabschnitt 3.3.2 für $\omega = 1$.

■

3.2.4 Lemma (Spektralradius von \mathbf{T}_J bzgl. \mathbf{A}_{2D})

Das Jacobi-Verfahren konvergiert für die diskretisierte Poisson Gleichung und es gilt für den Spektralradius:

$$\rho(\mathbf{T}_J) = \cos(\pi h) < 1. \quad (3.14)$$

Beweis:

Folgt mit Beweis aus Unterabschnitt 3.3.3 und $\omega = 1$.

■

3 Iterative Lösungsverfahren für lineare Gleichungssysteme

Wir können für das Jacobi-Verfahren zwar die Konvergenz nicht verbessern, allerdings ist es möglich den Rechenaufwand zu verbessern. Dies gelingt uns, indem wir die Dünnbesetztheit von A_{2D} gezielt ausnutzen. Es sind pro Zeile maximal 5 Einträge ungleich Null. Oder anders formuliert, hat jeder Gitterpunkt in Ω_h höchstens 4 Nachbarn. Nutzt man diese Struktur aus, so erhält man den folgenden Algorithmus:

3.2.5 Algorithmus (Jacobi-Verfahren für A_{2D}) [NumParVer]

Berechne für $k = 1, 2, \dots$ mit Startvektor $u^0 \in \mathbb{R}^n$ beliebig:

Für $i = 1, \dots, N$ und für $j = 1, \dots, N$:

$$u_{i,j}^{k+1} = \frac{1}{a_{i,i}}(f_{i,j} - u_{i-1,j}^k + u_{i+1,j}^k + u_{i,j-1}^k + u_{i,j+1}^k). \quad (3.15)$$

(Werte, bei denen eine Null im Index steht, werden ignoriert!)

Der Rechenaufwand pro Iterationsschritt beträgt lediglich $\mathcal{O}(N \cdot N) = \mathcal{O}(n)$ Schritte.

3.3 Das Jacobi-Relaxationsverfahren

Wir wollen nochmal die Iterationsvorschrift des Jacobi-Verfahrens betrachten:

$$u^{k+1} = (Id - D^{-1}A)u^k + D^{-1}f. \quad (3.16)$$

Durch Umformung erhalten wir:

$$\begin{aligned} u^{k+1} &= (Id - D^{-1}A)u^k + D^{-1}f \\ &= u^k - D^{-1}Au^k + D^{-1}f \\ &= u^k + D^{-1} \underbrace{(f - Au^k)}_{=r^k}. \end{aligned} \quad (3.17)$$

Wir addieren also zu u^k das Residuum. Die Idee ist nun das Residuum mit einem Parameter $\omega \in \mathbb{R}$ zu multiplizieren, so dass wir neue Eigenschaften erhal-

3 Iterative Lösungsverfahren für lineare Gleichungssysteme

ten:

$$\begin{aligned} u^{k+1} &= u^k + D^{-1}\omega r^k = u^k + \omega D^{-1}(f - Au^k) \\ &= u^k - \omega D^{-1}Au^k + \omega D^{-1}f = (Id - \omega D^{-1}A)u^k + \omega D^{-1}f \\ &= (Id - \omega Id + \omega Id - \omega D^{-1}A)u^k + \omega D^{-1}f \\ &= (1 - \omega)Id + \omega(Id - D^{-1}A)u^k + \omega D^{-1}f. \end{aligned} \quad (3.18)$$

Gleichung 3.18 stellt die Iterationsvorschrift für das Jacobi-Relaxationsverfahren dar. Die Iterationsmatrix ist gegeben durch:

$$\mathbf{T}_{J\omega} := (1 - \omega)\mathbf{Id} + \omega(\mathbf{Id} - \mathbf{D}^{-1}\mathbf{A}) = (\mathbf{Id} - \omega\mathbf{D}^{-1}\mathbf{A}). \quad (3.19)$$

Letztlich erweitert man den Jacobi-Algorithmus also mit dem Parameter ω und addiert $(1 - \omega)u^k$ zu u^{k+1} .

3.3.1 Algorithmus (Jacobi-Relaxations-Verfahren)

Sei $u^0 \in \mathbb{R}^n$ ein *beliebiger* Startvektor und $k = 1, 2, \dots$. Berechne für $i = 1, \dots, n$:

$$u_i^{k+1} = (1 - \omega)u_i^k + \frac{\omega}{a_{ii}}(f_i - \sum_{\substack{j=1 \\ j \neq i}}^n a_{ij}u_j^k). \quad (3.20)$$

Beachte: Für $\omega = 1$ erhalten wir das Jacobi-Verfahren. Der Rechenaufwand des Jacobi-Relaxationsverfahrens beträgt ebenfalls $\mathcal{O}(n^2)$.

3.3.2 Satz (Eigenwerte von $\mathbf{T}_{J\omega}$ bzgl. \mathbf{A}_{2D})

Die Eigenvektoren entsprechen denen von \mathbf{A}_{2D} und für die Eigenwerte von $\mathbf{T}_{J\omega}$ gilt:

$$\lambda_{i,j}(\mathbf{T}_J) = 1 - \omega \left(\sin^2\left(\frac{\theta_i}{2}\right) + \sin^2\left(\frac{\theta_j}{2}\right) \right) \text{ für } 1 \leq i, j \leq N, \quad (3.21)$$

θ_i, θ_j wie in Unterabschnitt 2.3.1.

Beweis:

3 Iterative Lösungsverfahren für lineare Gleichungssysteme

Für $\mathbf{D} = 4 \cdot \mathbf{Id}$ folgt $\mathbf{D}^{-1} = \frac{1}{4}\mathbf{Id}$. Für die Iterationsmatrix \mathbf{T}_{J_ω} angewandt auf einen Vektor u gilt:

$$\begin{aligned}\mathbf{T}_{J_\omega} u &= (\mathbf{Id} - \omega \mathbf{D}^{-1} \mathbf{A})u = \mathbf{Id}u - \omega \mathbf{D}^{-1} \mathbf{A}u \\ &= \mathbf{Id}u - \frac{\omega}{4} \mathbf{Id} \underbrace{\mathbf{A}u}_{=\lambda_{i,j}(A)u} = u(1 - \frac{\omega}{4} \lambda_{i,j}(\mathbf{A})).\end{aligned}$$

Die Eigenwerte von \mathbf{T}_{J_ω} lassen sich also einfach durch $(1 - \frac{\omega}{4} \lambda_{i,j}(A))$ berechnen:

$$\lambda_{i,j}(\mathbf{T}_J) = 1 - \omega \left(\sin^2\left(\frac{\theta_i}{2}\right) + \sin^2\left(\frac{\theta_j}{2}\right) \right) \text{ für } 1 \leq i, j \leq N.$$

■

3.3.3 Lemma (Spektralradius von \mathbf{T}_{J_ω} bzgl. \mathbf{A}_{2D})

Das Jacobi-Relaxations-Verfahren konvergiert für die diskretisierte Poisson Gleichung und es gilt für den Spektralradius:

$$\rho(\mathbf{T}_{J_\omega}) = 1 - \omega(1 - \cos(\pi h)) < 1. \quad (3.22)$$

Beweis:

Mit Gleichung 3.21 folgt unter Zuhilfenahme der Taylorformel:

$$\begin{aligned}\rho(\mathbf{Id} - \omega \mathbf{D}^{-1} \mathbf{A}_{2D}) &= \max_{1 \leq i, j \leq N} |\lambda_{i,j}| \\ &= \max_{1 \leq i, j \leq N} \left| 1 - \omega \left(\sin^2\left(\frac{\theta_i}{2}\right) + \sin^2\left(\frac{\theta_j}{2}\right) \right) \right| \\ &= 1 - 2\omega \sin^2\left(\frac{\theta_1}{2}\right) = 1 - 2\omega \sin^2\left(\frac{\pi h}{2}\right) \\ &= 1 - 2\omega \left(\frac{1}{2} (1 - \cos(\pi h)) \right) = 1 - \omega(1 - \cos(\pi h)) \\ &\approx 1 - \omega \left(1 - \left(1 - \frac{\pi^2 h^2}{2} \right) \right) \\ &= 1 - \frac{\omega}{2} \pi^2 h^2 < 1.\end{aligned}$$

■

Der Spektralradius ist für ein $\omega \in (0, 1)$ näher an eins, als der des Jacobi-Verfahrens. Das Jacobi-Relaxationsverfahren ist daher schlechter konditioniert und wird nicht

als iteratives Verfahren verwendet. Wie wir in Abschnitt 3.4 sehen werden, besitzt dieses Verfahren die Glättungseigenschaft und findet in den Mehrgitter-Algorithmen seine Anwendung. Für die zweidimensionale Poisson Gleichung stellen $\omega = \frac{1}{2}$ und $\omega = \frac{4}{5}$ die optimalen Parameter als Glätter dar [Saad].

3.3.4 Algorithmus (Jacobi-Relaxations-Verfahren für A_{2D}) [NumParVer]

Mit derselben Vorgehensweise wie in Unterabschnitt 3.2.5 verbessern wir noch den Rechenaufwand bzgl. A_{2D} .

Berechne für $k = 1, 2, \dots$ mit Startvektor $u^0 \in \mathbb{R}^n$ beliebig
für $i = 1, \dots, N$ und $j = 1, \dots, N$:

$$u_{i,j}^{k+1} = (1 - \omega)u^k + \frac{\omega}{a_{i,i}}(f_{i,j} - u_{i-1,j}^k + u_{i+1,j}^k + u_{i,j-1}^k + u_{i,j+1}^k), \quad (3.23)$$

mit Rechenaufwand $\mathcal{O}(n)$.

3.4 Glättungseigenschaft

Für die Iterationsmatrix des Jacobi-Relaxationsverfahrens gilt:

$$u^{k+1} = (Id - \omega D^{-1}A)u^k + \omega D^{-1}f. \quad (3.24)$$

Die Eigenvektoren sind gegeben durch:

$$v_{k,l} = \sin(i\theta_k)\sin(j\theta_l) \text{ für } 1 \leq i, j, k, l \leq N, \quad (3.25)$$

θ_k, θ_l wie oben.

Als Eigenvektoren der Matrizen T_J bzw. T_{J_ω} bilden diese Vektoren eine Basis des \mathbb{R}^n , wobei $n = N^2$. Für den Fehlerterm im k -ten Iterationsschritt gilt:

$$e^k = u^* - u^k. \quad (3.26)$$

3 Iterative Lösungsverfahren für lineare Gleichungssysteme

Betrachten wir nun den $(k + 1) - \text{ten}$ Fehler und formen geschickt um, so gilt:

$$\begin{aligned}
 e^{k+1} &= u^* - u^{k+1} = u^* - \left((Id - \omega D^{-1}A)u^k + \omega D^{-1}f \right) \\
 &= \underbrace{u^* - u^k}_{=e^k} + \omega D^{-1}Au^k - \omega D^{-1}f = e^k + \omega D^{-1}(Au^k - f) \\
 &= e^k + \omega D^{-1}(Au^k - Au^*) = e^k + \omega D^{-1}A(u^k - u^*) \\
 &= e^k + \omega D^{-1}Ae^k = (Id - \omega D^{-1}A)e^k.
 \end{aligned} \tag{3.27}$$

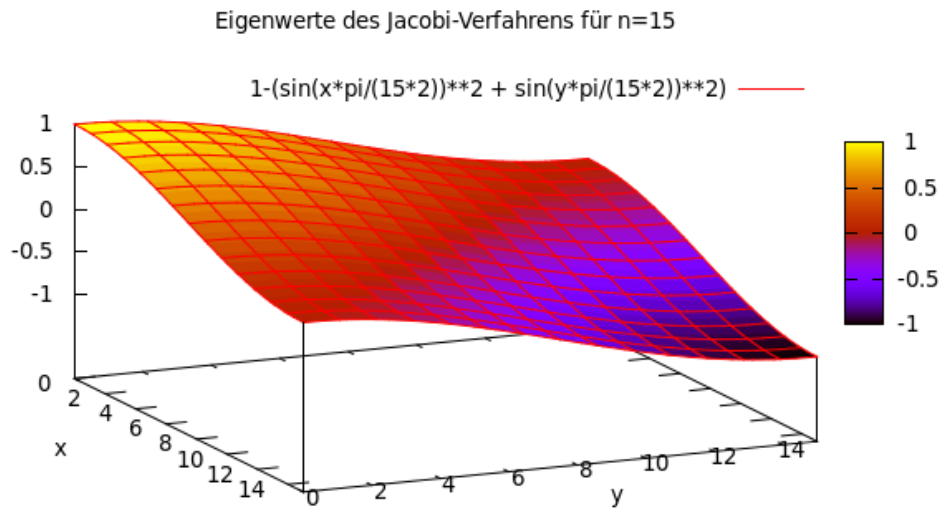


Abbildung 3.1: Dies ist das Eigenwertspektrum für $\omega = 1$. Das Gesamtschrittverfahren hat keine Glättungseigenschaft. Es liegen nur wenige der Eigenwerte um die Null.

Da die n Eigenvektoren $v_{i,j}$ eine Basis bilden, lässt sich der Fehler e als Linearkom-

3 Iterative Lösungsverfahren für lineare Gleichungssysteme

bination der $v_{i,j}$ darstellen:

$$\begin{aligned}
 e^{k+1} &= \sum_{i=1}^N \sum_{j=1}^N \zeta_{i,j}^{k+1} v_{i,j} = (Id - \omega D^{-1} A) \left(\sum_{i=1}^N \sum_{j=1}^N \zeta_{i,j}^k v_{i,j} \right) \\
 &= \left(\sum_{i=1}^N \sum_{j=1}^N \zeta_{i,j}^k (Id - \omega \underbrace{D^{-1}}_{=\frac{1}{4}Id} A) v_{i,j} \right) = \left(\sum_{i=1}^N \sum_{j=1}^N \zeta_{i,j}^k \left(v_{i,j} - \frac{\omega}{4} \underbrace{A v_{i,j}}_{=\lambda_{i,j}(A) v_{i,j}} \right) \right) \\
 &= \left(\sum_{i=1}^N \sum_{j=1}^N \zeta_{i,j}^k \underbrace{\left(1 - \frac{\omega}{4} \lambda_{i,j}(A) \right)}_{=\lambda_{i,j}(\mathbf{T}_{J\omega})} v_{i,j} \right) = \left(\sum_{i=1}^N \sum_{j=1}^N \zeta_{i,j}^k \lambda_{i,j}(\mathbf{T}_{J\omega}) v_{i,j} \right). \quad (3.28)
 \end{aligned}$$

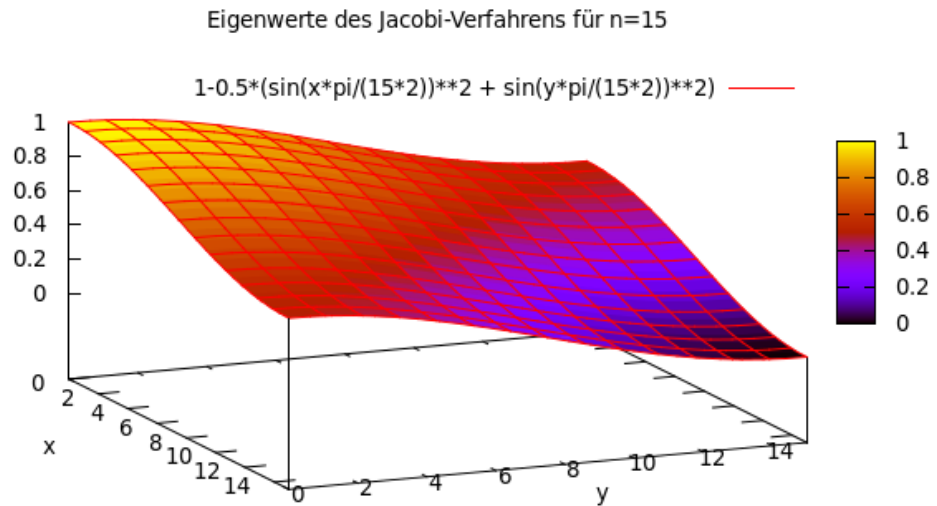


Abbildung 3.2: Für $\omega = \frac{1}{2}$ ist gut zu erkennen, dass für i, j nahe N viele Eigenwerte nahe Null liegen.

Betrachten wir nun die Eigenwerte der Iterationsmatrix für $\omega = 1$ (Jacobi-Verfahren), sieht man, dass die Eigenwerte für i, j nahe Null oder i, j nahe N den Fehler schlecht bis gar nicht dämpfen (Abbildung 3.1). Diese liegen nahe 1 bzw. -1 und verändern die zugehörigen Eigenvektoren kaum. Als iteratives Verfahren ist $\omega = 1$ der optimale Parameter [Saad]. Das Jacobi-Verfahren besitzt wegen seines Eigenwertspektrums keine Glättungseigenschaft.

Da wir im Folgenden eine Fehlerglättung erreichen wollen, wählen wir nun $\omega = \frac{1}{2}$

3 Iterative Lösungsverfahren für lineare Gleichungssysteme

(Abbildung 3.2). Wir stellen fest, dass die Eigenwerte der Iterationsmatrix zwischen 0 und 1 liegen. Sind $i, j > \frac{N}{2}$ so werden die Fehleranteile wesentlich besser gedämpft, da die Eigenwerte hier nahe Null liegen, d.h. zugehörige Eigenvektoren werden nahezu eliminiert. Diese Eigenschaft nennt man die *Glättungseigenschaft*. Es stellt sich z.B. heraus, dass der optimale Relaxationsparameter, der unabhängig von der Schrittweite h gewählt werden kann, $\omega = \frac{4}{5}$ ist [Saad]. In Abbildung 3.3 ist gut zu sehen, dass ein Großteil des Spektrums nahe Null liegt.

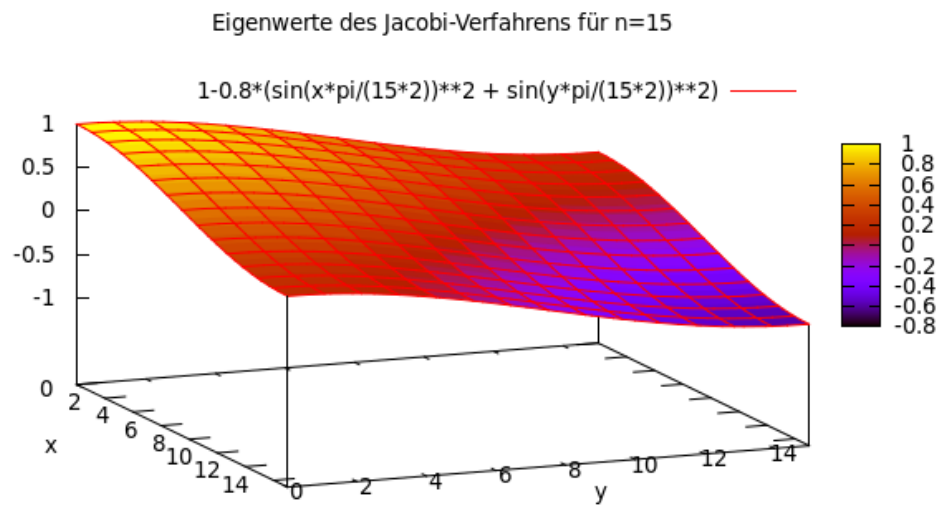


Abbildung 3.3: Für den optimalen Parameter $\omega = \frac{4}{5}$ ist gut zu erkennen, dass viele Eigenwerte um die Null liegen (orange Fläche) und somit eine gute Glättungseigenschaft besteht.

Zum Abschluss dieses Abschnitts wollen wir ein konkretes Beispiel zur Glättungseigenschaft anführen. Angenommen wir wählen unseren Startvektor $u^0 = \sin(\theta_i)$, mit $i = 1, \dots, n$ und θ_i wie in Abschnitt 2.3. Berechnen wir den Fehlerterm $e^0 = u^* - u^0$, und plotten diesen, so sieht der Fehler zu Beginn wie folgt aus:

3 Iterative Lösungsverfahren für lineare Gleichungssysteme

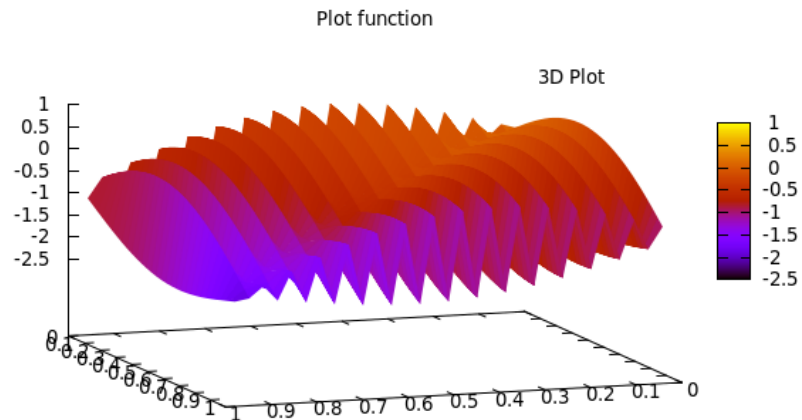


Abbildung 3.4: Die Oszillation der Sinuswellen im Startfehler ist hier gut zu erkennen.

Nun wollen wir uns noch die Plots nach einem und drei Iterationsschritten des Jacobi-Relaxationsverfahrens ansehen. Nach drei Schritten sind die starken Oszillationen verschwunden.

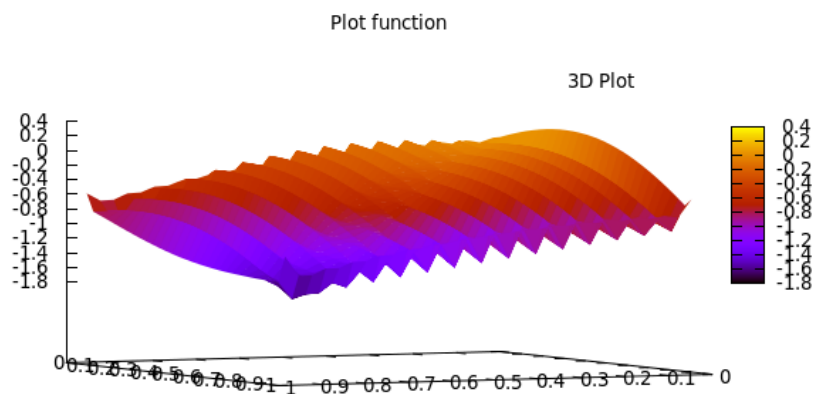


Abbildung 3.5: Nach einem Iterationsschritt ist bereits eine Glättung des Fehlers zu beobachten.

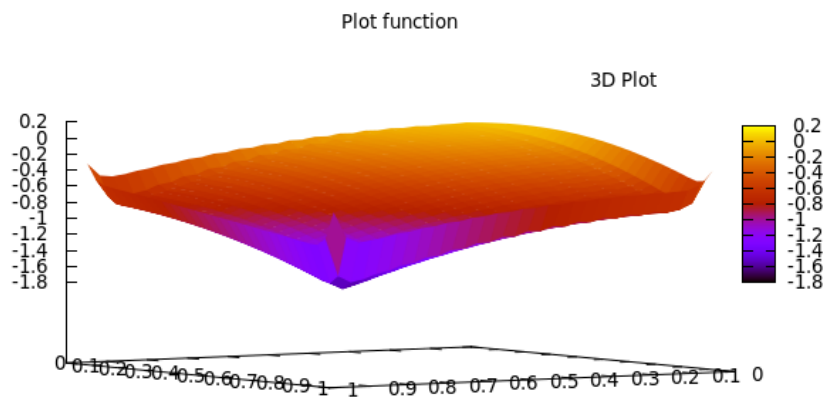


Abbildung 3.6: Man sieht, dass bereits nach 3 Iterationsschritten der Fehler glatt ist.

3.5 Das Verfahren der konjugierten Gradienten

Das Verfahren der konjugierten Gradienten wurde 1952 von Hestenes und Stiefel erstmals vorgestellt. Es zeichnet sich durch Stabilität und schnelle Konvergenz aus.

Das CG-Verfahren (conjugate gradient) - wie es auch genannt wird - ist eine Projektions- und Krylow-Raum-Methode, worauf wir allerdings im Folgenden nicht näher eingehen werden.

3.5.1 Definition (A-orthogonal)

Sei A eine symmetrische, nicht singuläre Matrix. Zwei Vektoren $x, y \in \mathbb{R}^n$ heißen konjugiert oder A-orthogonal, wenn $x^T A y = 0$ gilt.

Die A-Orthogonalität ist spezifisch für das CG-Verfahren. Bei der Aufstellung der Teilräume sind die zugehörigen Basisvektoren alle A-orthogonal, wie wir nach dem folgenden Satz sehen werden.

3.5.2 Satz (Minimierungsfunktion)

Sei $A \in \mathbb{R}^{n \times n}$ s.p.d. und

$$f(u) := \frac{1}{2} u^T A u - f^T u, \quad (3.29)$$

wobei $f, u \in \mathbb{R}^n$. Dann gilt:

f hat ein eindeutig bestimmtes Minimum und

$$A u^* = f \iff f(u^*) = \min_{u \in \mathbb{R}^n} f(u) \quad (3.30)$$

Einen Beweis hierzu findet man z.B. in [Dahmen/Reusken].

Es ist also äquivalent, die Funktion $f(u)$ zu minimieren und das Gleichungssystem $Au = f$ zu lösen. Betrachtet man nun den Gradienten von $f(u)$, so gilt:

$$\nabla f(u) = Ax - f = -r. \quad (3.31)$$

Da wir bei diesem Verfahren stets das Minimum in einem Teilraum $U_k \in \mathbb{R}$ suchen, also die Funktion $f(u)$ minimieren wollen, wird uns folgendes Lemma hilfreich sein:

3.5.3 Lemma - (A-orthogonaler) Projektionssatz

Sei U_k ein k -dimensionaler Teilraum des \mathbb{R}^n ($k \leq n$), und p^0, p^1, \dots, p^{k-1} eine A -orthogonale Basis dieses Teilraums, also $\langle p^i, p^j \rangle_A = 0$ für $i \neq j$. Sei $v \in \mathbb{R}^n$, dann gilt für $u^k \in U_k$:

$$\|u^k - v\|_A = \min_{u \in U_k} \|u - v\|_A \quad (3.32)$$

genau dann, wenn u^k die A -orthogonale Projektion von v auf $U_k = \text{span}\{p^0, \dots, p^{k-1}\}$ ist. Außerdem hat u^k die Darstellung

$$P_{U_k, \langle \cdot, \cdot \rangle_A}(v) = u^k = \sum_{j=0}^{k-1} \frac{\langle v, p^j \rangle_A}{\langle p^j, p^j \rangle_A} p^j \quad (3.33)$$

Der Beweis zu diesem Lemma folgt direkt aus dem Projektionssatz in [Dahmen/Reusken]

3.5.4 Allgemeiner Algorithmus der konjugierten Gradienten

Zur Erzeugung der Lösung von u^* durch Näherungen u^1, u^2, \dots definieren wir folgende Teilschritte [Dahmen/Reusken]:

0. Definiere Teilraum U_1 und bestimme r^0 mit beliebigen Startvektor u^0

$$U_1 := \text{span}\{r^0\}, \text{ wobei } r^0 = f - Au^0 \quad (3.34)$$

1. Bestimme eine A-orthogonale Basis

$$p^0, \dots, p^{k-1} \text{ von } U_k. \quad (3.35)$$

2. Bestimme eine Näherungslösung u^k , so dass gilt:

$$\|u^k - u^*\|_A = \min_{u \in U_k} \|u - u^*\|_A. \quad (3.36)$$

Wir berechnen also:

$$u^k = \sum_{j=0}^{k-1} \frac{\langle u^*, p^j \rangle_A}{\langle p^j, p^j \rangle_A} p^j. \quad (3.37)$$

3. Erweitere den Teilraum U_k und berechne erneut das Residuum

$$U_{k+1} := \text{span}\{p^0, \dots, p^{k-1}, r^k\} \text{ wobei } r^k := f - Au^k. \quad (3.38)$$

Nachdem man ein Residuum berechnet hat, startet der erste Iterationsschritt. Man erweitert seinen Teilraum um das Residuum und bestimmt daraufhin eine A-orthogonale Basis dieses Teilraumes. Ein gängiges Verfahren ist das Gram-Schmidt-Orthonormalisierungsverfahren. Die neue Näherungslösung bzgl. U_k kann dann über den (A-orthogonalen) Projektionssatz bestimmt werden. Nachdem erneut ein Residuum berechnet wurde, startet der nächste Iterationsschritt. Wegen Gleichung 3.37 könnte man vermuten, dass die Lösung des Gleichungssystems u^* zur Durchführung des Algorithmus bekannt sein muss. Die folgenden Lemmata werden zeigen, dass dem nicht so ist.

3.5.5 Lemma

Sei $u^* \in \mathbb{R}^n$ die Lösung von $Au = f$. Dann gilt für ein $y \in U_k$:

$$\langle u^*, y \rangle_A = \langle f, y \rangle \quad (3.39)$$

Beweis:

Wir nutzen die Eigenschaften des A-Skalarproduktes aus:

$$\langle u^*, y \rangle_A = u^{*T} Ay = y^T Au^* = y^T f = f^T y = \langle f, y \rangle.$$

■

Nun wollen wir Gleichung 3.37 neu formulieren.

3.5.6 Lemma

Sei $u^* \in \mathbb{R}^n$ die Lösung von $Au = f$ und $u^k \in \mathbb{R}^n$ die optimale Approximation von u^* in U_k . Dann kann u^k wie folgt berechnet werden:

$$u^k = u^{k-1} + \alpha_{k-1} p^{k-1}, \text{ mit } \alpha_{k-1} := \frac{\langle r^0, p^{k-1} \rangle}{\langle p^{k-1}, Ap^{k-1} \rangle}.$$

Einen Beweis findet man in [Dahmen/Reusken].

Bemerkung: u^k kann dadurch mit wenig Aufwand aus u^{k-1} und p^{k-1} berechnet werden.

3.5.7 Lemma

Das Residuum $r^k \in \mathbb{R}^n$ kann einfach berechnet werden durch:

$$r^k = r^{k-1} - \alpha_{k-1} Ap^{k-1}, \quad (3.40)$$

wobei α_{k-1} wie in Gleichung 3.40.

Beweis:

$$\begin{aligned}
 u^k &= u^{k-1} + \alpha_{k-1} p^{k-1} \\
 \iff Au^k &= Au^{k-1} + \alpha_{k-1} Ap^{k-1} \\
 \iff b - Au^k &= b - Au^{k-1} - \alpha_{k-1} Ap^{k-1} \\
 \implies r^k &= r^{k-1} - \alpha_{k-1} Ap^{k-1}.
 \end{aligned}$$

■

Da wir nun u^k und r^k recht komfortabel bestimmen können, wollen wir im Folgenden noch eine Möglichkeit zeigen, wie die p^k schnell zu berechnen sind.

3.5.8 Satz (Bestimmung einer A-orthogonalen Basis)

Durch

$$p^{k-1} = r^{k-1} - \sum_{j=0}^{k-2} \frac{\langle r^{k-1}, p^j \rangle_A}{\langle p^j, p^j \rangle_A} p^j, \quad (3.41)$$

wird die A-orthogonale Basis zum Vektor r^{k-1} bestimmt, wobei $p^{k-1}, r^{k-1} \in \mathbb{R}^n$.

Beweis:

Der Beweis folgt direkt aus dem Gram-Schmidt-Orthonormalisierungsverfahren, welches allerdings einen hohen Rechenaufwand vorweist.

Wir wollen ohne Beweis (siehe z.B. [Dahmen/Reusken]) angeben, wie man die p^k effizienter bestimmen kann.

3.5.9 Satz

Für die Berechnung von p^k gilt:

$$p^{k-1} = r^{k-1} - \frac{\langle r^{k-1}, Ap^{k-2} \rangle}{\langle p^{k-2}, Ap^{k-2} \rangle} p^{k-2}. \quad (3.42)$$

Substituiert man nun geschickt einige Werte in den Skalarprodukten (ohne Beweis), führt das auf den Algorithmus der konjugierten Gradienten.

3.5.10 Algorithmus der konjugierten Gradienten

Gegeben ist eine symmetrisch positiv definite Matrix $\mathbf{A} \in \mathbb{R}^n$. Bestimme die Lösung mithilfe eines beliebigen Startvektors $u^0 \in \mathbb{R}^n$ zu einer gegebenen rechten Seite $f \in \mathbb{R}^n$. Setze $\beta_{-1} := 0$ und berechne das Residuum $r^0 = f - Au^0$.

Für $k = 1, 2, \dots$, falls $r^{k-1} \neq 0$ berechne:

$$\begin{aligned} p^{k-1} &= r^{k-1} + \beta_{k-2} p^{k-2}, \text{ wobei } \beta_{k-2} = \frac{\langle r^{k-1}, r^{k-1} \rangle}{\langle r^{k-2}, r^{k-2} \rangle} \text{ mit } (k \geq 2) \\ u^k &= u^{k-1} + \alpha_{k-1} p^{k-1}, \text{ wobei } \alpha_{k-1} = \frac{\langle r^{k-1}, r^{k-1} \rangle}{\langle p^{k-1}, Ap^{k-1} \rangle} \\ r^k &= r^{k-1} - \alpha_{k-1} Ap^{k-1} \end{aligned}$$

Man muss in diesem Algorithmus pro Iterationsschritt lediglich zwei Skalarprodukte ausrechnen (die r^{k-1} -Skalarprodukte können für die r^{k-2} nach der Berechnung des neuen Residuums wieder verwendet werden!) und eine Matrix-Vektor-Multiplikation durchführen. Somit erhält man einen Rechenaufwand von $\mathcal{O}(n^2)$. Angewandt auf \mathbf{A}_{2D} kann man - durch das Ausnutzen der Dünnbesetztheit und der Symmetrie - einen Aufwand von $\mathcal{O}(n)$ erreichen. Diesen erhält man durch eine geschickt gewählte Matrix-Vektor-Multiplikation, die die Struktur von \mathbf{A}_{2D} ausnutzt.

An dieser Stelle soll noch ein kurzer Satz über die Konvergenz des Verfahrens folgen. Einen Beweis hierzu findet man z.B. in (Dahmen/Reusken 573):

3.5.11 Satz (Konvergenz des CG-Algorithmus)

[DahmenReusken]

Sei $\mathbf{A} \in \mathbb{R}^{n \times n}$ symmetrisch, positiv definit und seien $u, f, u^*, u^k \in \mathbb{R}^n$, wobei u^* die exakte Lösung des Gleichungssystems $Au = f$ und u^k die approximierte Lösung durch das CG-Verfahren ist. Dann gilt für $k = 1, 2, \dots$:

$$\|u^k - u^*\|_A \leq 2 \left(\frac{\kappa_2(A) - 1}{\kappa_2(A) + 1} \right)^k \|u^0 - u^*\|_A \quad (3.43)$$

Da stets $\frac{\kappa_2(A)-1}{\kappa_2(A)+1} < 1$ gilt, sichert dieser Satz die Konvergenz des Algorithmus. Man sieht also, dass die Konvergenz des Verfahrens von der Kondition der Matrix \mathbf{A}_{2D} abhängt.

Bemerkung:

Das Verfahren der konjugierten Gradienten konvergiert im Allgemeinen nicht, wenn \mathbf{A} nicht symmetrisch positiv definit ist.

3.6 Vorkonditioniertes Verfahren der konjugierten Gradienten (PCG)

Das PCG-Verfahren (preconditioned conjugate gradient) ist eine optimierte Version des CG-Verfahrens. Wie wir in Unterabschnitt 2.3.4 gezeigt haben, ist \mathbf{A}_{2D} für feinere Gitter schlecht konditioniert. Und in Unterabschnitt 3.5.11 haben wir gesehen, dass die Konvergenz des CG-Verfahrens von eben dieser Matrix abhängt. Dies mindert natürlich die Effizienz des Verfahrens. Die Idee ist nun, die bei der Iteration zu Grunde liegende Matrix \mathbf{A} durch eine ähnliche Matrix mit besserer Kondition zu ersetzen, damit sich das Konvergenzverhalten verbessert.

3.6.1 Satz

Sei $\mathbf{W} \in \mathbb{R}^{n \times n}$ s.p.d. dann gilt:

$$\mathbf{A}u = f \iff \mathbf{W}^{-1}\mathbf{A}u = \mathbf{W}^{-1}f. \quad (3.44)$$

Es macht also keinen Unterschied, ob wir $\mathbf{A}u = f$ oder das äquivalente System lösen.

3.6.1.1 Beweis:

$$\begin{aligned} \mathbf{A}u = f &\iff u = \mathbf{A}^{-1}\mathbf{E}f \iff u = \mathbf{A}^{-1}\mathbf{W}\mathbf{W}^{-1}f \\ &\iff u = (\mathbf{W}^{-1}\mathbf{A})^{-1}f \iff \mathbf{W}^{-1}\mathbf{A}u = \mathbf{W}^{-1}f. \end{aligned}$$

■

Die Konditionszahl dieses Problem ist nun durch $\kappa_2(\mathbf{W}^{-1}\mathbf{A})$ bedingt. Das Ziel muss es also sein, \mathbf{W}^{-1} so gut wie möglich zu wählen, damit die Kondition klein wird. Nun ist im Allgemeinen $\mathbf{W}^{-1}\mathbf{A}$ nicht s.p.d. Somit könnten wir zwar den CG-Algorithmus trotzdem anwenden, werden aber wegen dieser Tatsache möglicherweise keine Konvergenz erhalten. Um dies zu umgehen findet man einen Lösungsansatz (z.B. in Dahmen/Reusken 576), bei dem mit der Cholesky-Zerlegung eine entsprechende Umformung gefunden werden kann.

3.6.2 Der Algorithmus des vorkonditionierten konjugierten Gradienten Verfahrens

Gegeben seien $\mathbf{A}, \mathbf{W} \in \mathbb{R}^n$ s.p.d. Bestimme die Lösung mithilfe eines beliebigen Startvektors $u^0 \in \mathbb{R}^n$ zu einer gegebenen rechten Seite $f \in \mathbb{R}^n$. Setze $\beta_{-1} := 0$, berechne das Residuum $r^0 = b - Au^0$ und $z^0 = \mathbf{W}^{-1}r^0$ (löse $\mathbf{W}z^0 = r^0$). Für $k = 1, 2, \dots$, falls $r^{k-1} \neq 0$ berechne:

$$\begin{aligned} p^{k-1} &= z^{k-1} + \beta_{k-2}p^{k-2}, \text{ wobei } \beta_{k-2} = \frac{\langle z^{k-1}, r^{k-1} \rangle}{\langle z^{k-2}, r^{k-2} \rangle} \text{ mit } (k \geq 2), \\ u^k &= u^{k-1} + \alpha_{k-1}p^{k-1}, \text{ wobei } \alpha_{k-1} = \frac{\langle z^{k-1}, r^{k-1} \rangle}{\langle p^{k-1}, Ap^{k-1} \rangle}, \\ r^k &= r^{k-1} - \alpha_{k-1}Ap^{k-1}, \\ z^k &= \mathbf{W}^{-1}r^k \text{ (löse } \mathbf{W}z^k = r^k \text{)}. \end{aligned}$$

Wichtig hierbei ist, dass das Lösen von $\mathbf{W}z^k = r^k$ mit möglichst wenig Aufwand (ideal: $\mathcal{O}(n)$) berechnet werden soll. Für eine schnelle Lösung von $\mathbf{W}z^k = r^k$ verwenden wir eine unvollständige Cholesky-Zerlegung.

3.6.3 Die unvollständige Cholesky-Zerlegung

Eine Matrix \mathbf{A} , die symmetrisch positiv definit ist, lässt sich durch eine Cholesky-Zerlegung in eine normierte untere Dreiecksmatrix \mathbf{L} und eine rechte obere Dreiecksmatrix \mathbf{U} zerlegen, wobei gilt: $\mathbf{U} := \mathbf{D}\mathbf{L}^T$

Mit dieser Zerlegung möchten wir nun unser System vorkonditionieren. Allerdings würde eine vollständige Cholesky-Zerlegung viele Nulleinträge in einer dünn besetzten Matrix auslöschen. Darum greift man auf eine unvollständige

Cholesky-Zerlegung zurück, bei der die Stellen, an denen \mathbf{A} Nulleinträge besitzt, in L und U ebenfalls Null bleiben.

3.6.3.1 Definition (Muster E) [D/R]

Sei $E \subseteq \{1, \dots, n\} \times \{1, \dots, n\}$ ein Muster, für das gilt:

$$E := \{(i, j) | 1 \leq i, j \leq n, a_{i,j} \neq 0\}. \quad (3.45)$$

Dann lässt sich die Matrix \mathbf{A} auch folgendermaßen schreiben:

$$\mathbf{A} \approx \tilde{\mathbf{L}}\tilde{\mathbf{L}}^T + E. \quad (3.46)$$

wobei $\tilde{\mathbf{L}}, \tilde{\mathbf{L}}^T$ nicht die komplette Faktorisierung darstellt, sondern folgende Eigenschaften erfüllt:

3.6.3.2 Eigenschaften der Matrix $\tilde{\mathbf{L}}$

- $\tilde{\mathbf{L}}$ ist normierte untere Dreiecksmatrix
- Es gilt: $l_{i,j} = 0$, falls $(i, j) \notin E$

Natürlich ist diese Faktorisierung ungenauer, als die vollständige Zerlegung. Allerdings genügt sie, um die Kondition des Gleichungssystems in vielen Fällen zu verbessern. Um den Algorithmus effizient und den Rechenaufwand so klein wie möglich zu machen, werden Summen nur über Indizes aus dem Muster berechnet [Dahmen/Reusken].

3.6.3.3 Algorithmus der unvollständigen Cholesky-Zerlegung

Seien $\mathbf{A} \in \mathbb{R}^{n \times n}$ und E das Muster zur Matrix \mathbf{A} . Setze $\mathbf{L} = \mathbf{Id}$, $\mathbf{R} = 0$. Berechne dann für $i = 1, 2, \dots, n$:

$$l_{i,i} = \left(a_{i,i} - \sum_{j=1, (i,j) \in E}^{i-1} l_{i,j}^2 \right)^{\frac{1}{2}} \quad (3.47)$$

$$\text{for } k = i + 1, \dots, n : \text{ if } (k, i) \in E : \quad (3.48)$$

$$l_{k,i} = \left(a_{k,i} - \sum_{j=1, (k,j) \in E, (i,j) \in E}^{k-1} l_{k,j} l_{i,j} \right) / l_{i,i} \quad (3.49)$$

Bemerkungen:

- Die für den PCG-Algorithmus wichtige Matrix \mathbf{W} wird nun definiert als: $\mathbf{W} := \tilde{\mathbf{L}}\tilde{\mathbf{L}}^T$. Dadurch wird auch $\mathbf{W}z^k = \tilde{\mathbf{L}}\tilde{\mathbf{L}}^T z^k = r^k$ schnell durch Vorwärts- bzw. Rückwärtseinsetzen lösbar.
- Für viele Probleme zeigt sich, dass $\kappa_2(\mathbf{W}^{-1} \mathbf{A}) \ll \kappa_2(\mathbf{A})$ gilt.

Es gibt einige Varianten zur Vorkonditionierung. Wir wollen uns an dieser Stelle noch mit einer weiteren auseinander setzen.

3.6.4 Die modifizierte unvollständige Cholesky-Zerlegung

Auch bei der modifizierten Methode des Verfahrens gehen wir vor, wie in Unterabschnitt 3.6.3. Jedoch werden die Vorschriften für die Matrix $\tilde{\mathbf{L}}$ abgeändert:

3.6.4.1 Eigenschaften der Matrix $\tilde{\mathbf{L}}$

Sei $e := (1, 1, \dots, 1)^T$,

- $a_{i,j} = (\tilde{\mathbf{L}}\tilde{\mathbf{L}}^T)_{i,j}$ für alle $(i, j) \in E, i \neq j$,
- $\mathbf{A}e = \tilde{\mathbf{L}}\tilde{\mathbf{L}}^T e$, d.h. die Zeilensummen stimmen überein und
- $l_{i,j} = r_{i,j} = 0$ für alle $(i, j) \notin E$.

3.6.4.2 Algorithmus der modifizierten unvollständigen Cholesky-Zerlegung

Seien $\mathbf{A} \in \mathbb{R}^{n \times n}$ s.p.d. und E das Muster zur Matrix \mathbf{A} . Berechne dann für $i = 1, 2, \dots, n$:

$$l_{i,i} = \left(a_{i,i} - \sum_{j=1, (i,j) \in E}^{i-1} l_{i,j}^2 \right)^{\frac{1}{2}} \quad (3.50)$$

$$\text{for } k = i + 1, \dots, n : \quad (3.51)$$

$$\text{if } (k, i) \in E : \quad (3.52)$$

$$l_{k,i} = \left(a_{k,i} - \sum_{j=1, (k,j) \in E, (i,j) \in E}^{k-1} l_{k,j} l_{i,j} \right) / l_{i,i} \quad (3.53)$$

$$\text{else} : \quad (3.54)$$

$$a_{k,k} = a_{i,i} - \sum_{j=1, (k,j) \in E, (i,j) \in E}^{k-1} l_{k,j} l_{i,j} \quad (3.55)$$

Wir setzen wieder $\mathbf{W} := \tilde{\mathbf{L}}\tilde{\mathbf{L}}^T$.

Weitere Verfahren zur Vorkonditionierung, wie beispielsweise das SSOR-Verfahren, sind u.a. in [Saad] zu finden.

3.6.5 Effiziente Implementation der modifizierten Cholesky-Zerlegungen

Gerade für diese Aufgabenstellung ist es von großem Interesse, wie der Algorithmus in Code umgesetzt wird. Offensichtlich haben beide Zerlegungen einen Rechenaufwand von $\mathcal{O}(n^2)$. Auch wenn wir nur über das Muster E iterieren, werden viele Werte der Matrix \mathbf{A} überprüft. Dies kostet Rechenzeit.

Um dies zu optimieren, wird für \mathbf{A}_{2D} eine weitere Matrix $\mathbf{B} \in \mathbb{R}^{n \times 5}$ eingeführt, die das Muster E ersetzt bzw. darstellt. Die 2D Poisson Matrix enthält maximal 5 Werte ungleich Null pro Zeile. Somit können in der i -ten Zeile von \mathbf{A}_{2D} maximal 5 Indizes j auftauchen, für die gilt $a_{i,j} \neq 0$. In \mathbf{B} werden die Indizes j nacheinander abgespeichert. Sollte weniger als fünf Werte ungleich Null sein, so wird die zugehörige Zeile von \mathbf{B} mit -1 aufgefüllt.

Beispiel:

Um eine Vorstellung von \mathbf{B} zu bekommen, wählen wir $\mathbf{A}_{2D} \in \mathbb{R}^{9 \times 9}$, also $m = 4, N = 3$. Dann folgt:

$$B = \begin{pmatrix} 1 & 2 & (1+N) & -1 & -1 \\ 1 & 2 & 3 & (2+N) & -1 \\ & & \vdots & & \\ (5-N) & 4 & 5 & 6 & (5+N) \\ & & \vdots & & \\ (8-N) & 7 & 8 & 9 & -1 \\ (9-N) & 8 & 9 & -1 & -1 \end{pmatrix} \quad (3.56)$$

Mit der Matrix \mathbf{B} als Ersatz für das Muster E , ergibt sich folgender C++-Code für die modifizierte unvollständige Cholesky-Zerlegung:

3.6.6 C++-Methode der MIC

```

1 void Algorithms::modifiedIncompleteLU(Matrix& A,WriteableMatrix& L,
  ,WriteableMatrix& U) {
2     int m,u;
3     double sum, drop;
4
5     for(int i=0;i<dim;i++) {
6         drop=0;
7         for(int k=0;k<5;k++) {
8             m=A.HashMatrix[i][k];
9             if(m!=-1 && m<i) {
10                 sum=0;
11                 for(int j=0;j<5;j++) {
12                     u=A.HashMatrix[i][j];
13                     if(u!=-1 && u<k) {
14                         sum+=L.Get(i,u)*U.Get(u,m);
15                     }
16                 }
17                 L.Set(i,m,(A.Get(i,m)-sum)/U.Get(m,m));
18                 drop+=sum;
19             } else if(m!=-1 && m>=i) {
20                 m=A.HashMatrix[i][k];
21                 if(m!=-1 && m>=i) {
22                     sum=0;
23                     for(int j=0;j<5;j++) {

```

3 Iterative Lösungsverfahren für lineare Gleichungssysteme

```
24         u=A.HashMatrix[i][j];
25         if(u!=-1 && u<i) {
26             sum+=L.Get(i,u)*U.Get(u,m);
27         }
28     }
29     U.Set(i,m,(A.Get(i,m)-sum));
30     drop+=sum;
31 }
32 }
33 }
34 U.Set(i,i,(U.Get(i,i)-drop));
35 }
36 }
```

Der Rechenaufwand beträgt unter diesen Bedingungen lediglich $\mathcal{O}(5n) \approx \mathcal{O}(n)$.

Analog würde diese Vorschrift für die unvollständige Cholesky-Zerlegung folgen, was wir hier nicht mehr explizit anführen wollen. Betrachtet man in Kapitel 5 die Laufzeiten für den PCG-Algorithmus mit diesen Zerlegungen und der angeführten Implementation, sieht man, wie schnell und effizient die Berechnung vonstatten geht.

4 Mehrgitterverfahren

In diesem Abschnitt sollen nun die Mehrgittermethoden genauer betrachtet werden. Zunächst aber nochmals die Grundlagen:

4.1 Grundlagen

1. Glättungseigenschaft der Jacobi-Relaxation

Die kurzweiligen Fehlerterme werden nach wenigen Iterationsschritten geglättet bzw. verschwinden nahezu.

2. Residuumsleichung

Die für diesen Algorithmus wichtige Residuumsleichung lautet:

$$\mathbf{A}e^k = r^k \quad (4.1)$$

Die Lösung von $\mathbf{A}e^k = r^k$ ist äquivalent zur Lösung von $\mathbf{A}u = b$ für $e^k = 0$.

Beweis:

Das Residuum ist an der k -ten Stelle definiert als

$$r^k = b - \mathbf{A}u^k \quad (4.2)$$

Der Fehler

$$e = u^* - u^k \quad (4.3)$$

wobei u^* die exakte Lösung darstellt. Betrachten wir jetzt nochmals Gleichung 4.1:

$$\mathbf{A}e^k = r^k = b - \mathbf{A}u^k = 0 \text{ für } e^k = 0. \quad (4.4)$$

Somit ist

$$\mathbf{A}e^k = r^k \iff \mathbf{A}u^k = b \text{ falls } e^k = 0. \quad (4.5)$$



4.2 Prolongation

Bevor wir nun auf die Mehrgittermethoden explizit eingehen, müssen wir uns Gedanken darüber machen, wie wir von einem Gitter auf das andere kommen. Angenommen wir befinden uns auf dem groben Gitter Ω_{2h} , so ist das Ziel auf ein feineres Gitter Ω_h mit wenig Rechenaufwand zu kommen und die Werte aus Ω_{2h} sollten auf Ω_h gut genähert abgebildet werden. Für die Prolongation wählen wir hierfür eine bilineare Interpolation.

Bemerkung:

Wir wählen der Einfachheit halber das N stets so, dass gilt: $N = 2^n - 1$, wobei $n \in \mathbb{N}$. Somit können wir die Schrittweite h auf jedem Gitter komfortabel bestimmen. Es gilt dann z.B. für $N_h = 2^n - 1$ und für $N_{2h} = 2^{n-1} - 1$.

4.2.1 Interpolationsmatrix

Sei $I_{2h}^h : \Omega_{2h} \rightarrow \Omega_h$ eine Abbildung mit $I_{2h}^h(u_{2h}) = \mathbf{I}u_{2h} = u_h$, wobei $\mathbf{I} \in \mathbb{R}^{(2\tilde{N}-1)^2 \times \tilde{N}^2}$ und \tilde{N} die Anzahl der Gitterpunkte auf dem groben Gitter. Dabei überführt die Matrix \mathbf{I} Vektoren von Ω_{2h} auf Ω_h . Sie ist *nicht* symmetrisch und kann verschiedene Gestalten haben, z.B.:

$$\mathbf{I} = \frac{1}{4} \begin{pmatrix} I_1 & & & & \\ I_2 & & & & \\ & I_1 & & & \\ & I_2 & & & \\ & & \ddots & & \\ & & & I_1 & \\ & & & I_2 & \end{pmatrix}. \quad (4.6)$$

Für $I_1, I_2 \in \mathbb{R}^{(2\tilde{N}-1) \times \tilde{N}}$ gilt:

$$\mathbf{I}_1 = \begin{pmatrix} 4 & & & & & \\ 2 & 2 & & & & \\ & 4 & & & & \\ & 2 & 2 & & & \\ & & \ddots & & & \\ & & & 4 & & \\ & & & 2 & 2 & \\ & & & & 4 & \end{pmatrix}, \quad \mathbf{I}_2 = \begin{pmatrix} 2 & \dots & 2 & & & \\ 4 & \dots & 4 & & & \\ & 2 & \dots & 2 & & \\ & 4 & \dots & 4 & & \\ & & \ddots & & & \\ & & & 2 & \dots & 2 \\ & & & 4 & \dots & 4 \\ & & & & 2 & \dots & 2 \end{pmatrix}. \quad (4.7)$$

Wir haben hier die Full-Weighted-Matrix der Interpolation verwendet, da sie die höchste Genauigkeit beim Übergang von Ω_{2h} auf Ω_h besitzt. Sie berücksichtigt bei der Interpolation nicht nur Gitterpunkte, die in Ω_{2h} , sowie in Ω_h existieren, sondern auch den jeweiligen Nachbarn. Es gibt andere Möglichkeiten der Interpolation, z.B. den Half-Weighting-Operator, auf die wir in dieser Arbeit nicht explizit eingehen wollen. Zur Veranschaulichung des Full-Weighted-Operators dient Abbildung 4.1. Es geht in jedes $u_h^{i,j}$ auch der gewichtete Wert aller Nachbarpunkte von $u_{2h}^{i,j}$ des groben Gitters mit ein.

Beispiel:

$$\mathbf{I}u_{2h}^{i,j} = \frac{1}{4} \begin{pmatrix} I_1 & & & & \\ I_2 & & & & \\ & I_1 & & & \\ & I_2 & & & \\ & & \ddots & & \\ & & & I_1 & \\ & & & I_2 & \end{pmatrix} \begin{pmatrix} u_{2h}^{(1)} \\ \vdots \\ u_{2h}^{(m)} \end{pmatrix} = \begin{pmatrix} u_h^{(1)} \\ u_h^{(2)} \\ \vdots \\ u_h^{(n-1)} \\ u_h^{(n)} \end{pmatrix} = u_h^{i,j}. \quad (4.8)$$

Bemerkung:

4 Mehrgitterverfahren

Für den Fall von eindimensionalen Gittern hätte \mathbf{I} folgende Darstellung:

$$\mathbf{I} = \frac{1}{2} \begin{pmatrix} 1 & & & & \\ 2 & & & & \\ 1 & 1 & & & \\ & 2 & & & \\ & 1 & & & \\ & & \ddots & & \\ & & & 1 & 1 \\ & & & & 2 \\ & & & & 1 \end{pmatrix}. \quad (4.9)$$

Hier ist $\mathbf{I} \in \mathbb{R}^{N \times \tilde{N}}$.

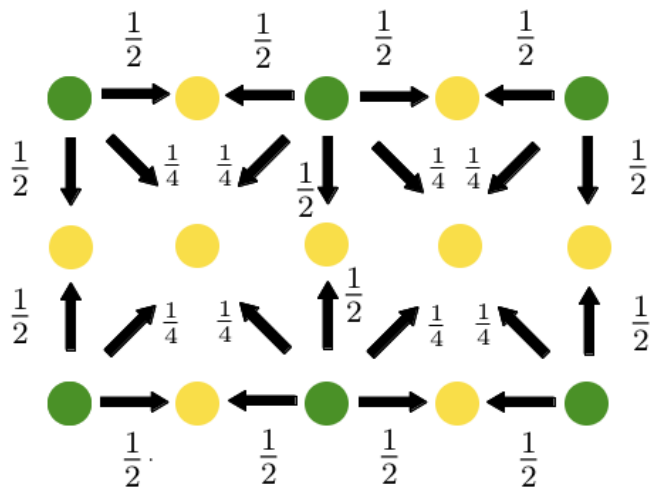


Abbildung 4.1: Bei der Interpolation bedienen sich die Punkte vom feinen Gitter (gelb), den gewichteten Punkten des groben Gitters (grün). Direkte Nachbarn werden mit $\frac{1}{2}$, diagonale Nachbarn mit $\frac{1}{4}$ gewichtet.

Für das Umsetzen in Programmcode ist es natürlich ungünstig eine komplette Matrix-Vektor-Multiplikation zu implementieren, zumal eine Matrix dieser Größe enorm viel Speicherplatz erfordert. Aus diesem Grund geben wir die Interpolation in Komponentenschreibweise an:

4 Mehrgitterverfahren

$$u_h^{2i-1,2j-1} = u_{2h}^{i,j} \quad i, j = 1, \dots, \tilde{N}, \quad (4.10)$$

$$u_h^{2i-1,2j} = \frac{1}{2}(u_{2h}^{i,j} + u_{2h}^{i,j+1}) \quad i = 1, \dots, \tilde{N}; j = 1, \dots, \tilde{N} - 1, \quad (4.11)$$

$$u_h^{2i,2j-1} = \frac{1}{2}(u_{2h}^{i,j} + u_{2h}^{i+1,j}) \quad i = 1, \dots, \tilde{N} - 1; j = 1, \dots, \tilde{N}, \quad (4.12)$$

$$u_h^{2i,2j} = \frac{1}{4}(u_{2h}^{i,j} + u_{2h}^{i,j+1} + u_{2h}^{i+1,j} + u_{2h}^{i+1,j+1}) \quad i, j = 1, \dots, \tilde{N} - 1. \quad (4.13)$$

Somit ist nun der Übergang vom groben zum feinen Gitter bekannt. Nun wollen wir noch die Gegenrichtung betrachten.

4.3 Restriktion

Sei $R_h^{2h} : \Omega_h \longrightarrow \Omega_{2h}$ mit $R_h^{2h}(u_h) = \mathbf{R}u_h = u_{2h}$ und $\mathbf{R} \in \mathbb{R}^{\tilde{N}^2 \times (2\tilde{N}-1)^2}$. Diese Abbildungsvorschrift nennt man Restriktion. Auch hier gibt es unterschiedliche Methoden, wobei in diesem Abschnitt das Gegenstück zur obigen Interpolation - der Full-Weighting-Operator für die Restriktion - verwendet wird. Auch dieser stellt den exaktesten Übergang zwischen beiden Gittern dar und hat einen speziellen Bezug zur Matrix \mathbf{I}

$$\mathbf{R} := \frac{1}{4}\mathbf{I}^T \quad (4.14)$$

4.3.1 Restriktionsmatrix

Dadurch ist die Matrixdarstellung gegeben durch:

$$R = \frac{1}{16} \begin{pmatrix} I_1^T & I_2^T & & & \\ & I_1^T & I_2^T & & \\ & & \ddots & \ddots & \\ & & & I_1^T & I_2^T \end{pmatrix}, \quad (4.15)$$

wobei I_1^T, I_2^T die transponierten Matrizen von I_1, I_2 darstellen.

Beispiel:

4 Mehrgitterverfahren

$$\mathbf{R}u_h^{ij} = \frac{1}{16} \begin{pmatrix} I_1^T & I_2^T & & & \\ & I_1^T & I_2^T & & \\ & & \ddots & & \\ & & & I_1^T & I_2^T \end{pmatrix} \begin{pmatrix} u_h^{(1)} \\ u_h^{(2)} \\ \vdots \\ u_h^{(n)} \end{pmatrix} = \begin{pmatrix} u_{2h}^{(1)} \\ \vdots \\ u_{2h}^{(m)} \end{pmatrix} = u_{2h}^{ij}. \quad (4.16)$$

Und für die Umsetzung in Code benutzen wir die Komponentenschreibweise:

Für ein u_{2h} auf Ω_{2h} gilt:

$$\begin{aligned} u_{2h}^{i,j} &= \frac{1}{16} (4u_h^{i,j} + 2(u_h^{i+1,j} + u_h^{i-1,j} + u_h^{i,j+1} + u_h^{i,j-1}) \\ &\quad + u_h^{i-1,j-1} + u_h^{i-1,j+1} + u_h^{i+1,j+1} + u_h^{i+1,j-1}) \end{aligned} \quad (4.17)$$

Das Vorgehen wird in Abbildung 4.2 illustriert.

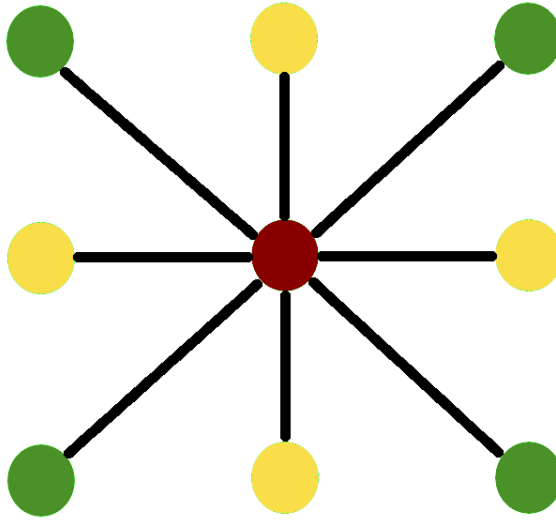


Abbildung 4.2: Ausgehend von einem Punkt innerhalb des Gitters, bedient dieser sich der Werte seiner direkten ($\frac{2}{16}$ in gelb) und diagonalen Nachbarn ($\frac{1}{16}$ in grün). Der Punkt, in dem restringiert wird fließt mit einer Gewichtung von $\frac{4}{16}$ (rot) in den neuen Wert ein.

Full-Weighting-Operator für die Restriktion.

Bemerkung:

4 Mehrgitterverfahren

Auch hier wollen wir noch die Restriktionsmatrix für den eindimensionalen Fall angeben:

$$\mathbf{R} = \frac{1}{4} \begin{pmatrix} 1 & 2 & 1 & & & \\ & 1 & 2 & 1 & & \\ & & & \ddots & & \\ & & & & 1 & 2 & 1 \end{pmatrix} \quad (4.18)$$

4.4 Transformation der Matrix

Zum Abschluss sollte noch die Matrix \mathbf{A} vom feinen Gitter auf das grobe Gitter transformiert werden. Befänden wir uns nicht auf dem Einheitsquadrat oder hätte \mathbf{A} eine nicht so regelmäßige Struktur wie beispielsweise \mathbf{A}_{2D} , dann gilt folgende Transformationsvorschrift:

$$\mathbf{A}_{2h} = \mathbf{R} \mathbf{A}_h \mathbf{I}, \quad (4.19)$$

mit \mathbf{A}_{2h} , \mathbf{A}_h , \mathbf{R} , \mathbf{I} wie oben.

Da wir uns jedoch auf dem Einheitsquadrat befinden und \mathbf{A}_{2D} eine günstige Struktur hat, wollen wir diesen Abschnitt nicht weiter vertiefen. Lediglich soll angegeben werden, wie \mathbf{A}_{2h} in unserem Fall nach der Transformation aussieht.

Beispiel:

Sei $N = 7$ die Anzahl der Gitterpunkte in x- und y-Richtung des feinen Gitters und $\tilde{N} = 3$ die Anzahl der Gitterpunkte in x- bzw. y-Richtung des groben Gitters. Außerdem seien $\mathbf{A}_{2h} \in \mathbb{R}^{9 \times 9}$, $\mathbf{A}_h \in \mathbb{R}^{49 \times 49}$, $\mathbf{I} \in \mathbb{R}^{49 \times 9}$ und $\mathbf{R} \in \mathbb{R}^{9 \times 49}$. So folgt:

$$\mathbf{R} \mathbf{A}_{2D_h} \mathbf{I} = \mathbf{R} \frac{1}{h^2} \begin{pmatrix} A_1 & -Id & & & \\ -Id & A_2 & \ddots & & \\ & \ddots & \ddots & & \\ & & & A_6 & -Id \\ & & & -Id & A_7 \end{pmatrix} \mathbf{I} = \frac{1}{(2h)^2} \begin{pmatrix} A_1 & -Id & \\ -Id & A_2 & -Id \\ & -Id & A_3 \end{pmatrix} = \mathbf{A}_{2D_{2h}} \quad (4.20)$$

Die Matrizen $\mathbf{A}_{2D_{ih}}$ sind also für alle $i \in \{2^n \in \mathbb{N} | n \in \mathbb{N}\}$ stets bekannt.

4.5 Das Zweigitterverfahren

Wie in Abschnitt 2.2 gesehen befinden wir uns bei der Diskretisierung der Poisson-Gleichung auf einem Gebiet $\Omega_h = (0,1)^2$ mit Schrittweite $h = \frac{1}{m}$. Nach der Ausführung von k Iterationsschritten des Jacobi-Relaxationsverfahren sind auf diesem Gitter die kurzwelligen Fehler $e^k = u^* - u^k$ geglättet bzw. nahezu verschwunden. Zudem haben wir die Äquivalenz der Gleichung $\mathbf{A}u = f$ und $\mathbf{A}e = r$ für $e = 0$ gesehen.

Wir berechnen nach dem k -ten Iterationsschritt das Residuum r^k und wollen sodann $\mathbf{A}_h e_h^k = r_h^k$ lösen. Die Lösung dieser Gleichung auf dem einem größeren Gitter ist natürlich wesentlich günstiger, als auf dem feinen Gitter. Darum bringen wir r_h^k durch Restriktion auf das gröbere Gitter und lösen die Residuums-gleichung dort direkt. Anschließend bringen wir den approximierten Fehlerterm e_{2h}^k durch Prolongation zurück auf das feine Gitter und addieren e_h^k zu u_h^k , da $u^* = u^k + e^k$. Abschließend wird k mal nachgeglättet. Wir wiederholen dieses Vorgehen bis zur Konvergenz. Nachfolgend der Pseudocode für den Algorithmus des Zweigitterverfahrens:

```

while       $u^k \neq u^*$ 
    pre-smooth      JacobiRelaxationMethod
    calculate residual   $r^k = b - Au^k$ 
    restrict           $r_{2h}^k = Rr_h^k$ 
                      $\mathbf{A}^{2h} = R\mathbf{A}^hP$ 
    set error          $e_{2h}^0 = 0$ 
    solve direct       $\mathbf{A}^{2h}e_{2h}^k = r_{2h}^k$ 
    prolongate         $e_h^k = Pe_{2h}^k$ 
    add error          $u_h^k = u_h^{k-1} + e_h^k$ 
    smooth (optional) JacobiRelaxationMethod
end

```

Es bleiben zwei Fragen nun unbeantwortet:

1. Wie soll die Residuums-gleichung auf dem größeren Gitter gelöst werden?

2. Wie steht es mit der Konvergenz dieses Verfahrens? Besitzt es die nötige Rechengeschwindigkeit?

Die Antwort auf die Frage nach der Konvergenz werden wir in dieser Arbeit schuldig bleiben. Für ein weiteres Studium wird [Saad] empfohlen. Als direkten Löser verwenden wir den PCG-Algorithmus aus Kapitel 3.

Der klare Nachteil dieser Methode liegt natürlich am direkten Lösen der Residuungsgleichung. Wählen wir ein sehr feines Gebiet Ω_h mit $m = 256$, also $h = \frac{1}{256}$, so liefert das Gebiet Ω_{2h} immer noch ein Gleichungssystem der Dimension $n = 127^2$. Ein System dieser Ordnung direkt zu lösen erfordert großen Rechenaufwand, der in dieser Form nicht immer erwünscht ist.

4.6 Mehrgitter-Algorithmen

Da also das Lösen der Residuungsgleichung auf dem groben Gitter einen direkten Löser erfordert, der zusätzlichen Rechenaufwand bedeutet, ist der Zweigitter-Algorithmus nicht immer die erste Wahl zum Lösen eines Gleichungssystems.

Eine andere Methode ist, das Gitter immer gröber zu machen, bis das System direkt lösbar ist, um dann wieder auf das feinste Gitter zurück zu kehren. Wir erweitern also das Zweigitterverfahren um Rekursion. Denn ruft sich die Funktion in jedem Iterationsschritt selbst auf und löst direkt, sobald sie sich auf dem grössten Gitter befindet, erhalten wir folgende rekursive Funktion:

4 Mehrgitterverfahren

V-cycle (u, b)

```

if (coarsest grid)   return  $u_{\text{finestgrid}} = \mathbf{A}^{-1}b$ 
    else
        pre-smooth      JacobiRelaxationMethod
    calculate residual   $r^k = b - Au^k$ 
        restrict         $r_{2h}^k = Rr_h^k$ 
                         $\mathbf{A}^{2h} = R\mathbf{A}^hP$ 
        recursion        $e_{2h}^k = \mathbf{V-cycle}(0, r_{2h}^k)$ 
        prolongate       $e_h^k = Pe_{2h}^k$ 
        add error        $u_h^k = u_h^{k-1} + e_h^k$ 
        smooth          JacobiRelaxationMethod
                        return  $u_h$ 
    end

```

Die Schritte sind im wesentlichen die gleichen, als die beim Zweigitterverfahren. Es wird auf jedem Gitter eine a priori Glättung durchgeführt und das Residuum restringiert. Auf dem größten Gitter wird die Residuumsleichung mit $e = 0$ gelöst. Der Fehlerterm wird anschließend prolongiert und auf dem nächst feineren Gitter zum jeweiligen u^k dazu addiert. Nach einer a posteriori Glättung wird das neu berechnete u^k ebenfalls prolongiert. Sobald wir auf das feinste Gitter zurück gekehrt sind, erhalten wir eine neue Approximation für u_h^k .

4 Mehrgitterverfahren

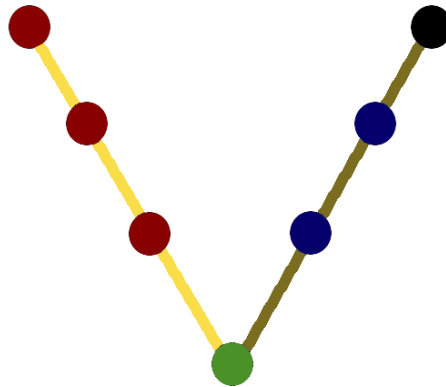


Abbildung 4.3: **rot:** a priori Glättung, **gelb:** Restriktion, **grün:** direktes Lösen, **braun:** Prolongation, **blau:** a posteriori Glättung und **schwarz:** a posteriori Glättung und Korrektur des Fehlers.

Dieser Algorithmus ist auch als V-Zyklus bekannt. Wie dieser Name zustande kommt illustriert Abbildung 4.3. Nun gibt es eine weitere Variante, den W-Zyklus (illustriert in Abbildung 4.4). Durch zweifachen rekursiven Aufruf der Funktion entstehen wesentlich mehr Wechsel zwischen den Gittern. Natürlich ist die Rechenzeit durch häufigeres glätten, lösen, restringieren und prolongieren höher:

4 Mehrgitterverfahren

W-cycle (u, b)

```

if (coarsest grid)   return  $u_{finestgrid} = \mathbf{A}^{-1}b$ 
    else
        pre-smooth      JacobiRelaxationMethod
    calculate residual   $r^k = b - Au^k$ 
        restrict         $r_{2h}^k = Rr_h^k$ 
                         $\mathbf{A}^{2h} = R\mathbf{A}^hP$ 
        recursion        $e_{2h}^k = \mathbf{W-cycle}(0, r_{2h}^k)$ 
        recursion        $e_{2h}^k = \mathbf{W-cycle}(0, r_{2h}^k)$ 
        prolongate       $e_h^k = Pe_{2h}^k$ 
        add error        $u_h^k = u_h^{k-1} + e_h^k$ 
        smooth          JacobiRelaxationMethod
    return  $u_h$ 

```

end

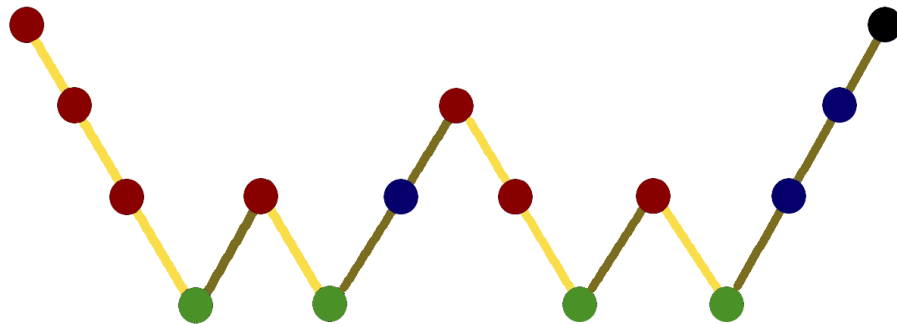


Abbildung 4.4: **rot:** a priori Glättung, **gelb:** Restriktion, **grün:** direktes Lösen, **braun:** Prolongation, **blau:** a posteriori Glättung und **schwarz:** a posteriori Glättung und Korrektur des Fehlers.

Für manche Systeme erhält man durch schnellere Konvergenz eine kürzere Rechenzeit, als bei einem V-Zyklus. Im Falle der Poisson Gleichung ist dies nicht der Fall, wie Kapitel 5 zeigen wird.

5 Implementierung und Beispiel

In diesem letzten Kapitel werden praktische Code-Beispiele gezeigt. Außerdem werden anhand eines Beispiels die Iterationsschritte und Rechenzeit der verschiedenen Verfahren betrachtet.

5.1 Beispiel einer Poisson Gleichung

Seien $f : \Omega \rightarrow \mathbb{R}$ und $g : \partial\Omega \rightarrow \mathbb{R}$ stetige Funktionen mit $f(x, y) = -4$. und $g(x, y) = x^2 + y^2$. Sei außerdem $\Omega = (0, 1) \times (0, 1) \in \mathbb{R}^2$. Gegeben ist das Randwertproblem

$$-\Delta u(x, y) = f(x, y) = -4 \text{ in } \Omega \quad (5.1)$$

$$u(x, y) = g(x, y) = x^2 + y^2 \text{ in } \partial\Omega \quad (5.2)$$

Gesucht ist eine Funktion $u(x, y)$, die diese Gleichung löst.

Offensichtlich löst der elliptische Paraboloid $u(x, y) = x^2 + y^2$ die partielle Differentialgleichung, da $\partial_{xx}u(x, y) = \partial_{yy}u(x, y) = 2$. Allerdings wollen wir nun diese Lösung auch numerisch erhalten.

Die gewünschte Lösung sollte also folgendem Graphen ergeben:

5 Implementierung und Beispiel

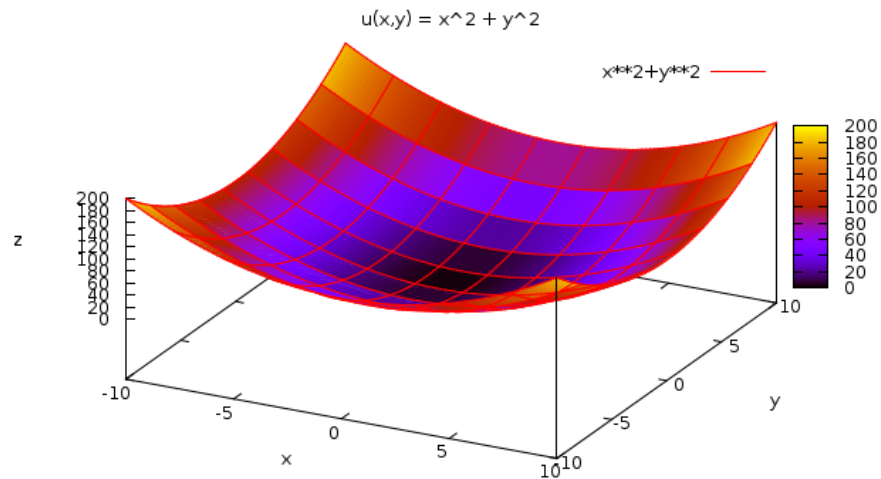


Abbildung 5.1: Die analytische Lösung für diese Poisson-Gleichung war gegeben durch $u(x,y) = x^2 + y^2$.

Zu beachten ist, dass wir $\Omega_h \in (0,1)^2$ gewählt haben. Die Lösung unseres Systems sollte folgenden Graphen als Ergebnis haben:

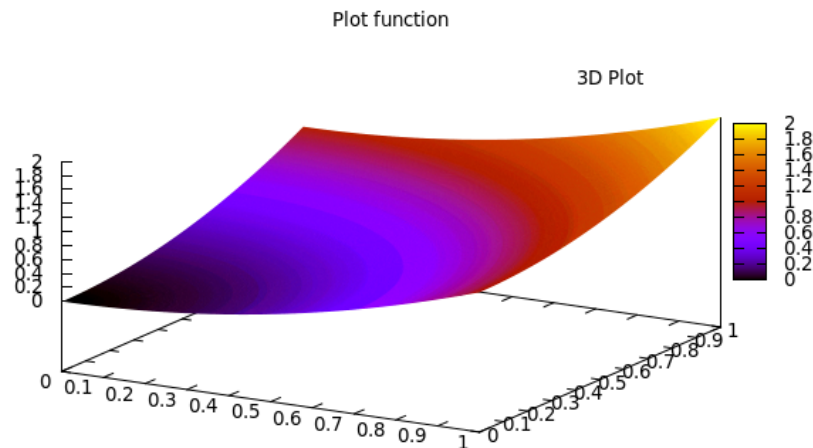


Abbildung 5.2: Dieser Graph entspricht der Lösung der Poisson-Gleichung auf dem Einheitsquadrat mit $h = \frac{1}{1024}$. Als Ausgangsdaten wurde die Lösung durch einen Mehrgitter-V-Zyklus mit 3 Gittern verwendet mit $m = 1024$.

5.2 Bemerkung zur Implementierung in C++

Das gesamte Programm wurde objektorientiert geschrieben, darum ist von Methoden und Klassen, nicht von Funktionen die Rede. In den folgenden Beispielen wollen wir die Lösung der Poisson Gleichung für verschiedene Verfahren betrachten. Dafür werden einige der Methoden dargestellt. Wir wollen nicht nur die Iterationsschritte genauer betrachten, sondern auch die Rechenzeit.

An manchen Stellen im Code kommt die Vermutung auf, dass es sich um Pseudocode handeln könnte. Dies ist natürlich nicht der Fall. Es wurden lediglich bestimmte Operatoren wie $*$, $+$, $-$, etc. überladen.

5.3 Speicherung von A_{2D}

Für eine effiziente Implementierung ist die Speicherung der Poisson-Matrix ein wichtiges Kriterium. Da die Werte der Diagonale und die der Nebendiagonalen zu jeder Zeit bekannt sind und die Matrix symmetrisch ist, werden in der C++-Methode PoissonMatrix lediglich drei double-Werte gespeichert. Somit benötigen wir lediglich drei mal 8 Byte, also 24 Byte, Speicherplatz für die gesamte Matrix. Für die Matrizen L und R , deren Werte ebenfalls nur auf der Diagonale und den 4 Nebendiagonalen ungleich Null sind und die beide ebenfalls symmetrisch sind, gehen wir ähnlich vor. Da dort die Werte jedoch unterschiedlich sind, werden pro Matrix drei Vektoren (`vector<double>`) angelegt, die pro Matrix einen Speicherplatz von $< 24n$ Bytes ausmachen. Hier hängt zwar der Speicherplatz von der Größe der Matrix ab, ist aber immer noch überschaubar.

Durch diese Art der Speicherung können wir die Matrix-Vektor-Multiplikation, die im Allgemeinen einen Rechenaufwand von $\mathcal{O}(n^2)$ hat, anpassen, so dass der Aufwand auf $\mathcal{O}(n)$ sinkt.

```

1 vector<double> PoissonMatrix::operator*(const vector<double>& x) {
2     int dim=x.size(),n=sqrt(dim);
3     vector<double> tmp(dim,0);
4     for(int i=0;i<dim;i++) {
5         tmp[i]+=x[i]*4.0*pow(n+1,2);
6         if(i<(dim-n)) {
7             tmp[i]+=x[i+n]*-1.0*pow(n+1,2);
8             tmp[i+n]+=x[i]*-1.0*pow(n+1,2);
9         }
10        if(i%n!=0) {
11            tmp[i]+=x[i-1]*-1.0*pow(n+1,2);

```

5 Implementierung und Beispiel

```
12         tmp[i-1] += x[i] * -1.0 * pow(n+1, 2);
13     }
14 }
15 return tmp;
16 }
```

5.4 Abbruchkriterien

Um zu verstehen, warum wir Abbruchkriterien benötigen, hier ein kurzes Beispiel: Das CG-Verfahren konvergiert nach maximal n Schritten. Wir bräuchten somit kein Abbruchkriterium, damit wir die optimale Lösung finden. Angenommen die Dimension der Matrix ist $n = 10^6$. Dann werden trotz der schnellen Konvergenz eine große Anzahl an Iterationen benötigt, nämlich gerade n . Um dies zu vermeiden, lässt man den Algorithmus abbrechen, sobald eine gewisse Toleranzgrenze erreicht ist. In der Praxis schätzt man beispielsweise das k -te Residuum in der A-Norm oder der 2-Norm gegen r^0 ab. In diesem Beispiel wählen wir folgenden Ansatz:

$$\|u^k - u^*\|_2 \leq 10^{-3} \cdot \|u^0 - u^*\|_2, \quad (5.3)$$

wobei $u^* \in \mathbb{R}^n$ die Lösung des Gleichungssystems darstellt.

Im Allgemeinen ist natürlich die Lösung der partiellen Differentialgleichung nicht bekannt. Hier existiert die analytische Lösung und wir können das Abbruchkriterium so wählen.

Bemerkung:

In Dahmen/Reusken findet man für einige dieser Verfahren und dem gewählten Abbruchkriterium Tabellen mit Vergleichswerten für $m = 40, 80, 160, 320$. Da wir die Werte für diese m bereits kennen, beschränken wir uns auf Werte für $m = 2^n - 1, n \in \mathbb{N}_{>0}$, um einen besseren Vergleich zu den Mehrgitterverfahren zu erhalten.

5.5 Jacobi-Verfahren

Wie wir bereits in Unterabschnitt 3.2.4 gesehen haben, konvergiert das Jacobi-Verfahren nur langsam. Es überrascht darum nicht, dass einige Iterationsschritte

5 Implementierung und Beispiel

nötig sind, um das Gleichungssystem zu lösen. Trotz einer effizienten Programmierung benötigt die Methode viel Rechenzeit. Dies illustriert Tabelle 5.1.

m	32	64	128	256
Iterationsschritte	1340	5344	21341	85282
Rechenzeit in s	0.17	2.89	47.22	771.03

Tabelle 5.1: Je größer N wird, desto mehr Iterationsschritte und Rechenaufwand ist zum Lösen der Gleichung nötig.

Es ist gut zu sehen, dass sich die Anzahl der Iterationsschritte vervierfacht, sobald m verdoppelt wird.

5.6 Jacobi-Relaxations-Verfahren

Zunächst soll der C++-Code angegeben werden. Setzt man $\omega = 1$ erhält man obiges Jacobi-Verfahrens.

```
1     vector<double> tmp;
2     double sum, omega=4.0/5.0;
3     int n=sqrt(x.size()), dim=n*n, steps=0;
4     double h=1.0/(double)(n+1);
5     vector<double> r(x.size());
6     r=x-solved;
7     double TOL=(r|r)*pow(10, -3);
8     while(TOL<=(r|r)) {
9         tmp=x;
10        for(int i=0; i<n*n; i++) {
11            sum=0.0;
12            if(i>=n && i<dim-n) sum+=tmp[i-n]+tmp[i+n];
13            if(i<n) sum+=tmp[i+n];
14            if(i>=dim-n) sum+=tmp[i-n];
15            if(i%n!=0) sum+=tmp[i-1];
16            if(i%n!=n-1) sum+=tmp[i+1];
17            x[i]=omega*1.0/(4.0*pow(1.0/h, 2))*(b[i]+pow(1.0/h, 2)*
                sum)+tmp[i]*(1-omega);
18            r[i]=x[i]-solved[i];
19        }
20        steps++;
21    }
22    return steps;
```


23 }

Der Code lässt gut erkennen, wie die Struktur von \mathbf{A}_{2D} gut ausgenutzt werden kann.

5.6.1 Parameter $\omega = \frac{4}{5}$

In Unterabschnitt 3.3.3 haben wir gesehen, dass der Spektralradius des Jacobi-Relaxationsverfahrens näher an eins liegt als der des Jacobi-Verfahrens, denn:

$$\cos(\pi h) < 1 - \omega(1 - \cos(\pi h)) < 1, \quad (5.4)$$

für $\omega \in (0, 1)$.

Aus diesem Grund benötigt das relaxierte Verfahren auch wesentlich mehr Iterationsschritte. Wir betrachten das Verfahren, für den Parameter $\omega = \frac{4}{5}$.

m	32	64	128	256
Iterationsschritte	1676	6681	26676	106603
Rechenzeit in s	0.23	3.86	62.95	1031.14

Tabelle 5.2: Es ist deutlich zu erkennen, dass das Jacobi-Relaxationsverfahrens als iterativer Löser ungeeignet ist.

5.7 CG-Verfahren

Da das CG-Verfahren eines der effizienteren Iterationsverfahren ist, sollten die Messwerte entsprechend gut sein. Man erkennt aber in Tabelle 5.3 die schlechte Kondition von \mathbf{A}_{2D} . Pro Verdopplung der Gitterweite, verdoppeln sich auch die Iterationsschritte. Die Rechenzeit für ein sehr feines Gitter ist ebenfalls nicht akzeptabel.

5 Implementierung und Beispiel

m	32	64	128	256	512
Iterationsschritte	52	104	210	420	841
Rechenzeit in s	0.02	0.15	1.33	10.96	87.76

Tabelle 5.3: Ein gutes iteratives Verfahren, dass jedoch für feine Gitter nicht die gewünschte Effizienz aufweist.

Der C++-Code für das CG-Verfahren, wie auch im nächsten Abschnitt für das PCG-Verfahren ist verhältnismäßig lang. Wir wollen daher auf das Codebeispiel verzichten.

5.8 PCG-Verfahren

5.8.1 Mit unvollständiger Cholesky-Zerlegung

Auch wenn man eine klare Verbesserung zum Standardverfahren der konjugierten Gradienten sieht, sind die Ergebnisse immer noch nicht in einem akzeptablen Rahmen.

m	32	64	128	256	512	1024
Iterationsschritte	16	32	63	126	251	502
Rechenzeit in s	0.01	0.10	0.74	5.97	47.09	373.97

Tabelle 5.4: Es ist anhand der Tabelle schön zu erkennen, dass die Anzahl der Schritte proportional mit der Gitterweite zunimmt.

Offensichtlich gilt für das vorkonditionierte Verfahren der konjugierten Gradienten, dass die Anzahl der Schritte ungefähr doppelt so groß ist, als die Gitterweite m . Für die feinsten Gitter ist die Rechenzeit allerdings ungenügend.

5.8.2 Mit modifizierter unvollständiger Cholesky-Zerlegung

Im Fall der modifizierten unvollständigen Cholesky-Zerlegung erwartet man nun einen deutlichen Effekt auf Anzahl der Iterationsschritte und Rechenzeit.

5 Implementierung und Beispiel

m	32	64	128	256	512	1024
Iterationsschritte	7	9	12	17	24	33
Rechenzeit in s	0.01	0.03	0.17	0.96	5.12	27.07

Tabelle 5.5: Es ist deutlich zu erkennen, dass diese Variante des PCG-Verfahrens die effizientere von beiden darstellt.

Wie Tabelle 5.5 nun eindrucksvoll zeigt, brauchen wir für das feinsten Gitter maximal 33 Iterationsschritte. Auch die Rechenzeit ist mit 27.07 Sekunden gut. Wie wir im nächsten Abschnitt sehen werden, sind lediglich die Mehrgittermethoden schneller und effizienter.

5.9 Das Mehrgitterverfahren

Auch wenn der Zweigitteralgorithmus nicht immer die beste Wahl zur Lösung einer partiellen Differentialgleichung ist, stellt er speziell für die Poisson Gleichung eine äußerst effiziente Methode dar. Besonders bemerkenswert ist bei den Mehrgitterverfahren die Feinheit des Gitters, dass mit einer maximalen Schrittweite von $h = \frac{1}{4096}$ diskretisiert werden kann.

5.9.1 Zweigitterverfahren

Als direkter Löser wird das PCG-Verfahren mit einer modifizierten unvollständige Cholesky-Zerlegung verwendet.

m	32	64	128	256	512	1024	2048	4096
Anzahl der Zyklen	3	3	3	3	3	3	3	3
Rechenzeit in s	0.01	0.02	0.13	0.55	2.54	12.08	57.66	282.13

Tabelle 5.6: Das direkte Lösen auf dem groben Gitter erfolgt mit der modifizierten unvollständigen Cholesky-Zerlegung.

Ein Iterationsschritt ist ein Zyklus vom feinen auf das grobe Gitter und zurück.

5.9.2 V-Zyklus

Betrachten wir nun mehr als zwei Gitter, stellt sich durch "trial and error" heraus, dass für die Poisson-Gleichung ein 3-Gitter-V-Zyklus die günstigste Variante darstellt. Nachfolgend sind die durchaus imposanten Werte dargestellt:

m	32	64	128	256	512	1024	2048	4096
Anzahl der Zyklen	5	4	4	4	4	4	4	4
Rechenzeit in s	0.00	0.02	0.01	0.47	1.97	8.30	35.44	154.53

Tabelle 5.7: Die Messwerte für einen V-Zyklus mit einem feinen und zwei groben Gittern.

5.9.3 W-Zyklus

Abschließend werfen wir noch einen Blick auf einen W-Zyklus. Auch hier stellt sich heraus, dass drei Gitter am günstigsten sind.

m	32	64	128	256	512	1024	2048	4096
Anzahl der Zyklen	5	5	5	4	4	4	4	3
Rechenzeit in s	0.01	0.05	0.22	0.82	3.74	17.31	81.88	297.59

Tabelle 5.8: Je größer N wird, desto mehr Iterationsschritte und Rechenaufwand ist zum Lösen der Gleichung nötig.

Zwar braucht der W-Zyklus nicht mehr Iterationsschritte, jedoch ist der Rechenaufwand höher. Es werden pro Zyklus mehr Restriktionen und Interpolationen benötigt. Zudem werden auf jedem Gitter Glättungen durchgeführt. Und es wird öfter direkt gelöst. Dies benötigt mehr Rechenzeit, was durch die Tabelle belegt wird.

Die Implementierung der drei Mehrgittermethoden ist die gleiche. Es wird lediglich beim Aufruf der C++-Methode die Anzahl der Gitter mitgegeben und ob es ein V- oder W-Zyklus sein soll. Wählt man zwei Gitter, so fungiert der Algorithmus als Zweigitterverfahren. Dieser sieht dann wie folgt aus:

5.9.4 Mehrgitteralgorithmus C++-Methode

```

1  vector<double> Algorithms::Cycle(Matrix& A,vector<double>& x,const 2
    vector<double>& b,int lambda,int theta,Matrix& B, 3
    WriteableMatrix& L,WriteableMatrix& U) {
2      int dim=x.size(),n=sqrt(dim),N2h=(n+1)/2-1,dim2h=pow(N2h,2);
3      vector<double> r(dim,0),E(dim,0),r2h(dim2h,0),E2h(dim2h,0);
4      if(this->Vcounter==lambda) {
5          PCGdirect(B,L,U,x,b);
6          return x;
7      } else {
8          this->Vcounter++;
9          JacobiRelaxation(A,x,b,3);
10         r=b-A*x;
11         Restriction(r,r2h,n);
12         E2h=Cycle(A,E2h,r2h,lambda,theta,B,L,U);
13         if(theta==1) E2h=Cycle(A,E2h,r2h,lambda,theta,B,L,U);
14         Interpolation(E2h,E,n);
15         x+=E;
16         JacobiRelaxation(A,x,b,3);
17         this->Vcounter--;
18         return x;
19     }
20 }

```

Wir wir gesehen haben, gibt es einige effiziente Verfahren zur Lösung der diskretisierten Poisson Gleichung. Am Ende stellt sich heraus, dass die mit Abstand geeignetsten Verfahren die Mehrgittermethoden sind. Man könnte die Verfahren mit etwas Aufwand zusätzlich parallelisieren und dadurch noch einmal eine bessere Rechenzeit erreichen.

Danksagung

An dieser Stelle möchte ich mich noch bei einigen Menschen bedanken, die mich bei der Erstellung dieser Bachelorarbeit unterstützt und ausgehalten haben:

- *Meiner Mama*: Für die Unterstützung, das Vertrauen in mich und die große Geduld mit mir.
- *Meiner Freundin*: Ohne dich, Sylvia, wäre ich nie durch dieses Studium gekommen. Deine Hilfe, dein Verständnis und dein Zuspruch haben mir sehr geholfen.
- *Meinen besten Freunden*: Obwohl ihr Mathematik alle nicht sonderlich mögt, habt ihr euch meine scheinbar endlosen Vorträge immer wieder angehört.
- *Christopher Rupprecht*: Die gute Hilfestellung hat mir gerade bei meinen Algorithmen sehr weiter geholfen.
- *Prof. Dr. Harald Garcke*:

Abbildungsverzeichnis

2.1	5-Punkt-Differenzenstern bei der Diskretisierung von Ω	5
2.2	Lexikographische Nummerierung der Punkte auf dem Gitter im Einheitsquadrat.	6
2.3	Eigenvektor mit harmonischen, kurzwelligen Sinuswellen für die eindimensionale Poisson Gleichung.	10
2.4	Stark oszillierender Eigenvektor für die eindimensionale Poisson Gleichung.	10
2.5	Langwelliger Eigenvektor für die eindimensionale Poisson Gleichung.	10
2.6	Ein Beispiel für einen langwelligen Eigenvektor für die zweidimensionale Poisson Gleichung.	11
3.1	Eigenwertspektrum der Jacobi Iterationsmatrix, bzw. der Iterationsmatrix des Jacobi-Relaxationsverfahrens mit Parameter $\omega = 1$	26
3.2	Eigenwertspektrum der Iterationsmatrix des Jacobi-Relaxationsverfahrens mit dem Parameter $\omega = \frac{1}{2}$	27
3.3	Plot der Eigenwerte für den optimalen Parameter $\omega = \frac{4}{5}$ für das Jacobi-Relaxationsverfahren.	28
3.4	Plot des Startfehlers mit stark oszillierenden Sinuswellen.	29
3.5	Plot des Fehlers nach einem Glättungsschritt.	29
3.6	Geglätteter Fehler nach drei Iterationsschritten des Jacobi-Relaxationsverfahrens mit optimalen Parameter.	30
4.1	Illustration der Gewichtung im Falle einer Interpolation mit Full-Weighting-Operator.	46
4.2	Ausgehend von einem Punkt innerhalb des Gitters, ist hier die Gewichtung der Werte veranschaulicht. Jeder Wert wird zusätzlich mit einem Faktor $\frac{1}{16}$ multipliziert	48
4.3	Veranschaulichung eines V-Zyklus in den Mehrgittermethoden. . .	53
4.4	Ein W-Zyklus der die einzelnen Schritte illustriert.	54

Abbildungsverzeichnis

5.1	Plot der Funktion $u(x, y) = x^2 + y^2$, als analytische Lösung einer partiellen Differentialgleichung.	56
5.2	Plot des Lösungsvektors nach einem V-Zyklus im Einheitsquadrat.	56

Tabellenverzeichnis

5.1	Tabelle für das Jacobi-Verfahren mit Iterationsschritten und Rechenzeit.	59
5.2	Tabelle für das Jacobi-Relaxationsverfahren mit Iterationsschritten und Rechenzeit.	60
5.3	Tabelle für das CG-Verfahren mit Iterationsschritten und Rechenzeit.	61
5.4	Tabelle für das PCG-Verfahren (mit unvollständiger Cholesky-Zerlegung) mit Iterationsschritten und Rechenzeit.	61
5.5	Tabelle für das PCG-Verfahren (mit modifizierter unvollständiger Cholesky-Zerlegung) mit Iterationsschritten und Rechenzeit.	62
5.6	Tabelle für einen Zweigitteralgorithmus mit Anzahl der Zyklen und Rechenzeit.	62
5.7	Tabelle für einen V-Zyklus mit Anzahl der Zyklen und Rechenzeit.	63
5.8	Tabelle für einen W-Zyklus mit Anzahl der Zyklen und Rechenzeit.	63